

# **Polyzyklische aromatische Kohlenwasserstoffe im PM10 an ausgewählten Stationen des NABEL sowie der Kantone**

## **Messbericht 2020**

**Andrea Fischer und Christoph Hüglin**

Empa, Abteilung Luftfremdstoffe/Umwelttechnik

Überlandstrasse 129, 8600 Dübendorf

Dübendorf, Oktober 2021

## Impressum

**Auftraggeber:** Bundesamt für Umwelt (BAFU), Abteilung Luftreinhaltung und Chemikalien,  
Sektion Luftqualität, 3003 Bern

**Auftragnehmer:** Empa, Abteilung Luftfremdstoffe/Umwelttechnik  
Überlandstrasse 129, 8600 Dübendorf

**Autoren:** Andrea Fischer, Christoph Hüglin

**Kontakt:** [andrea.fischer@empa.ch](mailto:andrea.fischer@empa.ch)

Dieser Bericht ist abrufbar unter: <http://empa.ch/web/s503/weitere-dokumente>

Dübendorf, Oktober 2021

**Inhaltsverzeichnis:**

<b>1</b>	<b>Zusammenfassung</b>	<b>2</b>
<b>2</b>	<b>Résumé</b>	<b>4</b>
<b>3</b>	<b>Messkonzept</b>	<b>6</b>
	3.1 Messstationen und Messbetrieb	6
	3.2 Probenahme	9
	3.3 Analytik	10
	3.4 Toxizität	10
<b>4</b>	<b>Resultate der PAK-Analysen</b>	<b>12</b>
<b>5</b>	<b>Detaillierte Darstellung der Resultate für Benzo(a)pyren</b>	<b>19</b>
<b>6</b>	<b>Literaturverzeichnis</b>	<b>30</b>
	<b>Anhang</b>	<b>33</b>

## 1 Zusammenfassung

Polyzyklische aromatische Kohlenwasserstoffe (PAK) entstehen bei der unvollständigen Verbrennung von organischen Materialien wie Holz, Kohle, Benzin, Tabak, Heiz- und Dieselöl oder Lebensmitteln. In der Natur entstehen PAK z.B. durch Waldbrände und Steppenbrände oder auch Vulkanaktivität. PAK stellen wegen ihrer kanzerogenen und mutagenen Wirkung eine Gefahr für die menschliche Gesundheit dar (WHO Regional Office for Europe 2013; IARC 2013; ETC/ACM 2014; BAG 2020). Aufgrund dieser Gesundheitsgefährdung hat die Europäische Union in ihrer Richtlinie 2004/107/EC vom 15. Dezember 2004 (EU-Commission 2004) einen Zielwert (Jahresmittelwert) für das krebserregende Benzo(a)pyren (BaP) im atmosphärischen Feinstaub (PM10) von  $1 \text{ ng/m}^3$  festgelegt. Zudem sollen gemäss EU-Richtlinie eine Reihe weiterer polyzyklischer aromatischer Kohlenwasserstoffe im Feinstaub analysiert werden, und zwar Benz(a)anthracen, Benzo(b)fluoranthen, Benzo(j)fluoranthen, Benzo(k)fluoranthen, Indeno(1,2,3-cd)pyren, Dibenzo(a,h)anthracen und Fluoranthen. Gemäss EEA 2020 haben die Gesamtemissionen von BaP in Europa in den Jahren 1990 – 2017 um 59% abgenommen. Im Jahr 2018 wurde an 27% der 722 Messstellen in Europa für Benzo(a)pyren (BaP) ein Jahresmittel über dem Zielwert von  $1 \text{ ng/m}^3$  registriert (EEA 2020b).

Mit der Analyse der Proben von 2020 auf PAK wurde wie in den vergangenen Jahren das Gewässerschutzlabor des Kantons Zürich beauftragt. Die Analysen wurden gemäss der EN-Norm (CEN 2008) durchgeführt. Zusätzlich zu den von der europäischen Richtlinie geforderten PAK wurden Pyren, Chrysen und Benzo(ghi)perylen bestimmt.

Die Schweiz legt für krebserregende Substanzen keine Immissionsgrenzwerte fest, da für deren Emissionen unabhängig von den auftretenden Immissionen gemäss der Luftreinhalte-Verordnung das Minimierungsgebot gilt. Um einen Überblick über die in der Schweiz auftretenden Immissionskonzentrationen von PAK im PM10 zu erhalten, werden seit 2006 Analysen an ausgewählten NABEL-Stationen durchgeführt. Im Jahr 2019 wurden erstmalig PAK-Messungen der Messstation Beromünster in das Messprogramm aufgenommen. Als Ergänzung zur Messstation Magadino-Cadenazzo wurden seit 2007 auch einige kantonale Stationen ins Messprogramm genommen, welche ebenfalls zeitweise stark durch Emissionen aus Holzfeuerung beeinflusst sind: San Vittore (GR) im Misox, seit 2007; Ebnat-Kappel (SG) im Toggenburg, 2020 und 2010 – 2012;

Grabs (SG), 2009 und 2017 – 2019; Appenzell (AI), 2011 - 2013 und 2016; Altstätten (SG), 2014 - 2015; Flums (SG), 2015 - 2017; Braunwald (GL), 2015 (Detaillierte Angaben siehe Tab. 2).

Die Resultate der Messungen 2020 zeigen, dass die Standorte sich in ihrer relativen Zusammensetzung der verschiedenen PAK nicht wesentlich unterscheiden (Abb. 1 und 3) und somit auch die Beiträge der einzelnen PAK zur Toxizität von PM<sub>10</sub> an allen Stationen sehr ähnlich ist (Abb. 5 und Tabelle 5). Eine Auswertung zur relativen Toxizität der gemessenen PAK-Konzentrationen von 2020 zeigt, dass Benzo(a)pyren allein für rund 57 % der Toxizität der gemessenen PAK im Feinstaub verantwortlich ist.

Im Jahr 2020 wurde, wie schon im Vorjahr, an keiner Messstation der europäische Zielwert von 1 ng/m<sup>3</sup> überschritten. In San Vittore, jene Messstation mit den höchsten Konzentrationen, liegt der Jahresmittelwert 2020 mit 0.73 ng/m<sup>3</sup>, wie die vergangenen 3 Jahren, unter dem Zielwert. An allen anderen untersuchten Stationen (Abb. 7) liegen die BaP-Konzentrationen 2020 zwischen 0.05 (Beromünster) und 0.63 ng/m<sup>3</sup> (Ebnat-Kappel). Die ländlichen Standorte San Vittore, Ebnat-Kappel und Magadino-Cadenazzo sind deutlich von Emissionen aus der Holzverbrennung beeinflusst und zeigen deshalb im Vergleich zu den anderen Stationen klar höhere Messwerte.

Die Benzo(a)pyren Belastung hat an allen untersuchten NABEL-Standorten seit Messbeginn im Jahr 2006 abgenommen (Abb. 8 und Abb. 9). Der langjährige Verlauf der Quartalswerte der BaP-Konzentrationen weist an allen Messstationen eine ausgeprägte Saisonalität auf, mit hohen Werten im Winter und deutlich tieferen Werten im Sommer (Abb. 12).

Dieser Bericht gibt eine Übersicht über das Messprogramm, die angewendeten Messverfahren und über die Resultate im Zeitraum 2006 – 2020.

## 2 Résumé

Les Hydrocarbures Aromatiques Polycycliques (HAP) se forment lors de combustion incomplète de matériaux organiques, tels que le bois, le charbon, l'essence, le tabac, le diesel, le mazout ou la nourriture. Dans la nature, les HAP se forment lors des incendies de forêt, des feux de steppe ou de l'activité volcanique. Ils constituent un danger pour la santé en raison de leur caractère cancérigène et mutagène (cf. WHO Regional Office for Europe 2013; IARC 2013; ETC/ACM 2014; BAG 2020). En raison de ce risque pour la santé, l'Union européenne a adopté la directive 2004/107/CE le 15.12.2004 (EU-Commission 2004) et y a établi une valeur cible de 1 ng/m<sup>3</sup> en moyenne annuelle pour le benzo(a)pyrène cancérigène (BaP) présents dans les poussières fines. De plus, selon la directive européenne, plusieurs autres HAP contenus dans les particules fines sont également à surveiller. Il s'agit des composés suivants : benz(a)anthracène, benzo(b)fluoranthène, benzo(j)fluoranthène, benzo(k)fluoranthène, indeno(1,2,3-cd)pyrène, dibenzo(a,h)anthracène et fluoranthène. Selon l'AEE 2020, les émissions totales de HAP en Europe ont diminué de 59 % entre 1990 et 2017. En 2018, 27 % des 722 sites de surveillance en Europe ont enregistré une moyenne annuelle pour le benzo(a)pyrène (BaP) supérieure à la valeur cible de 1 ng/m<sup>3</sup> (AEE 2019).

Les analyses d'échantillons d'HAP de 2020 sont confiées, comme les années précédentes, au Laboratoire de protection des eaux du canton de Zürich. Les analyses ont été menées conformément aux normes européennes en la matière (CEN 2008). En plus des HAP recommandés par la directive européenne les concentrations de pyrène, chrysène et de benzo(ghi)perylène ont également été mesurées.

La Suisse n'a pas établi de valeur limite d'immission pour les substances cancérigènes mais limite les émissions autant que possible, indépendamment des immissions enregistrées (limitation préventive en fonction du principe de précaution conformément à l'ordonnance sur la protection de l'air). Afin d'obtenir une vue d'ensemble des concentrations de HAP contenus dans les PM10 en Suisse, des analyses ont été effectuées, depuis 2006, dans des stations NABEL sélectionnées. En 2019, les mesures de HAP de la station de mesure de Beromünster ont été intégrées pour la première fois dans le programme de mesure. Dans le réseau Nabel, Magadino-Cadenazzo est l'unique station qui soit particulièrement exposée aux émissions des chauffages à bois, parfois même de manière dominante. C'est la raison pour laquelle depuis 2007, le programme de mesure a été étoffé par certaines stations cantonales additionnelles, également exposées aux émissions de chauffages à bois: San Vittore (GR) dans le Val Mesolcina, depuis 2007; Ebnat-Kappel dans le

Toggenburg, 2020 et 2010 - 2012; Grabs (SG), 2009 et depuis 2017; Appenzell (AI), 2011 - 2013 et 2016; Altstätten (SG), 2014 - 2015; Flums (SG), 2015 - 2017; Braunwald (GL), 2015; (Pour des informations détaillées, voir tab. 2).

Les résultats des mesures de 2020 montrent que les sites ne diffèrent pas significativement dans leur composition relative des différents HAP (Fig. 1 et 3) et que les contributions des HAP individuels à la toxicité des PM<sub>10</sub> sont donc très similaires dans toutes les stations (Fig. 5 et Tableau 5). Une évaluation de la toxicité relative des concentrations de HAP mesurées en 2020 montre que le benzo(a)pyrène est responsable à lui seul d'environ 57 % de la toxicité des HAP mesurés dans les particules.

En 2020, comme l'année précédente, la valeur cible européenne de 1 ng/m<sup>3</sup> n'a été dépassée dans aucune station de mesure. À San Vittore, la station de mesure présentant les concentrations les plus élevées, la valeur moyenne annuelle en 2020 de 0.73 ng/m<sup>3</sup> est inférieure à la valeur cible, comme ces trois dernières années. Dans toutes les autres stations étudiées (Fig. 7), les concentrations de BAP en 2020 se situent entre 0.05 (Beromünster) et 0.63 ng/m<sup>3</sup> (Ebnat-Kappel). Les stations rurales de San Vittore, Ebnat-Kappel et Magadino-Cadenazzo, qui sont largement influencées par les émissions de chauffages à bois, font apparaître des moyennes clairement plus élevées que les autres stations rurales.

La charge en benzo(a)pyrène a diminué dans toutes les stations NABEL depuis le début des mesures en 2006 (Fig. 8 et Fig. 9). L'évolution à long terme des valeurs trimestrielles des concentrations de BaP montre une saisonnalité prononcée dans toutes les stations de mesure, avec des valeurs élevées en hiver et des valeurs plus faibles en été (Fig. 12).

Ce rapport donne une vue d'ensemble du programme de mesures, en décrit la méthodologie appliquée et les principaux résultats de mesures entre 2006 et 2020.

### **3 Messkonzept**

#### **3.1 Messstationen und Messbetrieb**

In Tabelle 1 sind die Stationen aufgeführt und kurz charakterisiert, an denen 2020 PAK-Analysen durchgeführt wurden. Eine zeitliche Darstellung des Messbetriebes an den verschiedenen Standorten seit Messbeginn im Jahr 2006, sowie Angaben über den Messbetreiber zeigt Tabelle 2. Eine detaillierte Charakterisierung der NABEL-Stationen findet sich im Technischen Bericht zum NABEL (Empa 2020). Die Lage der Station San Vittore ist auf der Webseite des Amtes für Natur und Umwelt des Kantons Graubünden näher beschrieben ([www.luft.gr.ch](http://www.luft.gr.ch)). Im PAK Messprogramm 2020 war auch die von Ostluft ([www.ostluft.ch](http://www.ostluft.ch)) betriebene Station Ebnat-Kappel (Höhe: 630 m ü.M.; Koordinaten: 2727350/1236350) im Toggenburg (SG). Die Station befindet sich im Dorfzentrum von Ebnat-Kappel, an einer Nebenstrasse, und repräsentiert eine Situation in einer ländlichen Gemeinde mit hohem Holzfeuerungsanteil. In Ebnat-Kappel wurden bereits von 2010 bis 2012 Messungen durchgeführt. Die von Oktober 2011 bis Ende 2013 und 2016 – 2017 im Messprogramm vorhandene Station Appenzell (Höhe: 775 m ü.M.; Koordinaten: 2748735/1244230) lag im Dorfzentrum beim Feuerschaugebäude und wies einen geringen Verkehrseinfluss auf. Diese Station repräsentierte die Situation in einem Wohnquartier eines grösseren Dorfes in ausgeprägter Tallage. Die Messstation Altstätten (Höhe: 451 m ü.M.; Koordinaten: 2759025/1249860) war von Januar 2014 bis März 2015 in Betrieb und repräsentierte die Situation einer ländlichen Gemeinde mit einem erhöhten Holzfeuerungsanteil. Altstätten liegt in einer Randlage des St. Galler Rheintals, und die Station befand sich an einer Hauptverkehrsstrasse im Dorfzentrum. Im Jahr 2015 war die Station Braunwald (Höhe: 1256 m ü.M.; Koordinaten: 2718725/1199807) im Kanton Glarus im PAK-Messprogramm. Die Messstation befand sich direkt bei der Bergstation Braunwaldbahn im autofreien Kur- und Fremdenverkehrsort Braunwald. Von April 2015 bis Ende 2017 war die Hintergrundstation Flums im Kanton St. Gallen in Betrieb (Höhe: 469 m ü.M.; Koordinaten: 744135/218550), die Station lag im Seeztal auf dem Gelände der ARA Flums-Seez, abseits von verkehrsreichen Strassen und Siedlungen. In Grabs (Höhe: 469 m ü.M.; Koordinaten: 2752175/1227830) im St. Galler Rheintal wurden von 2017 - 2019 und im Jahr 2009 in einem Wohnquartier im Dorfzentrum von Grabs, rund 50 m von einer Verkehrsachse entfernt, Messungen durchgeführt.

Tab. 1: Charakterisierung der Stationen, an welchen 2020 PAK-Analysen durchgeführt wurden.

<b>Basel-Binningen</b>	BAS	vorstädtisch, am Stadtrand von Basel auf dem Gebiet der Gemeinde Binningen
<b>Bern-Bollwerk</b>	BER	städtisch, direkt an Hauptverkehrsachse, ca. 3 m vom Strassenrand in Strassenschlucht
<b>Beromünster</b>	BRM	ländlich, unterhalb 1000 m ü.M.
<b>Dübendorf-Empa</b>	DUE	vorstädtisch, ca. 150 m von Hauptverkehrsstrasse entfernt
<b>Härkingen-A1</b>	HAE	ländlich, ca. 20 m nördlich der Autobahn A1
<b>Lausanne-César-Roux</b>	LAU	städtisch, verkehrsbelastet
<b>Lugano-Università</b>	LUG	städtisch, in relativ offener Hofsituation
<b>Magadino-Cadenazzo</b>	MAG	ländlich, unterhalb 1000 m ü.M., Alpensüdseite
<b>Payerne</b>	PAY	ländlich, unterhalb 1000 m ü.M.
<b>Sion-Aéroport-A9</b>	SIO	ländlich, an der Autobahn A9
<b>Tänikon</b>	TAE	ländlich, unterhalb 1000 m ü.M.
<b>Zürich-Kaserne</b>	ZUE	städtisch, Hofsituation, nicht unmittelbar verkehrsbelastet
<b>San Vittore</b>	SANV	Dorfzentrum, im Talboden eines Alpentals, . 280 m ü.M.
<b>Ebnat-Kappel</b>	EBK	Dorfzentrum, Nebenstrasse, Ländliche Gemeinde im Toggenburg, 630 m ü.M.

Tab. 2: Zeitliche Darstellung der durchgeführten PAK-Messungen.

Messnetzbetreiber		2006	2007	2008	2009	2010	2011	2012	2013	2014	2015	2016	2017	2018	2019	2020
Basel-Binningen	NABEL															
Bern-Bollwerk	NABEL															
Beromünster	NABEL															
Dübendorf-Empa	NABEL															
Härkingen-A1	NABEL															
Lausanne-César-Roux	NABEL															
Lugano-Università	NABEL															
Magadino-Cadenazzo	NABEL															
Payerne	NABEL															
Sion-Aéroport-A9	NABEL															
Tänikon	NABEL															
Zürich-Kaserne	NABEL															
San Vittore	Kt. Graubünden															
Grabs	Ostluft															
Ebnat-Kappel	Ostluft															
Appenzell	Ostluft															
Altstätten	Ostluft															
Flums	Ostluft															
Braunwald	Ostluft															
		2006	2007	2008	2009	2010	2011	2012	2013	2014	2015	2016	2017	2018	2019	2020

### 3.2 Probenahme

An den ausgewählten Stationen wurden die PAK-Konzentrationen in PM<sub>10</sub> quartalsweise analysiert. Dazu wurde aus den täglichen Feinstaubfiltern (Pallflex Tissuquarz), nach erfolgter Massenbestimmung, eine Rondelle von 14 mm Durchmesser ausgestanzt und quartalsweise zu einer Probe vereinigt. Von der Station San Vittore standen Filter von jedem 12. Tag zur Verfügung. Um etwa dieselbe Probenmenge zu erreichen, wurden hier pro Filter je 4 Rondellen mit einem Durchmesser von 25 mm zu Quartalsproben vereinigt. Von Ebnat-Kappel standen Filter von jedem 4. Tag (Q1 und Q4) bzw. jedem 12. Tag (Q2 und Q3) zur Verfügung und es wurden je 21 (Quartal 1), 24 (Quartal 2), 21 (Quartal 3) und 23 (Quartal 4) Rondellen mit einem Durchmesser von 20 mm zu einer Quartalsprobe vereinigt. Detaillierte Angaben über die Messmethodik zur Sammlung von Feinstaub auf Filtern sind im Technischen Bericht zum NABEL (Empa 2020) enthalten.

Aus den Siedepunkten der PAK kann abgeschätzt werden, bei welchen PAK Sammelverluste durch Verflüchtigung vom Filter auftreten können. Bei den üblichen Sammeltemperaturen muss unterhalb eines Siedepunkts von rund 450 °C (entsprechend den Verbindungen mit 4 oder weniger Ringen) mit merklichen Verlusten gerechnet werden. Die Ergebnisse der PAK bis und mit Chrysen haben deshalb nur orientierenden Charakter. Bei den Verbindungen mit 5 und mehr Ringen sind die Sammelverluste durch Verflüchtigung bei den üblichen Sammeltemperaturen kleiner als 10 % (Schauer et al. 2003).

Ein weiteres Problem der PAK-Messung stellt die teilweise Oxidation der gesammelten PAK auf dem Probefilter durch Ozon dar (Schauer et al., 2003; Liu K. et al. 2013). Vergleichsmessungen in München und Karlsruhe, mit einer Probenahme mit und ohne Ozondenuder, zeigten einen klaren Zusammenhang zwischen Ozonkonzentrationen und PAK-Verlusten. Gemäss Schauer *et al.* (2003) können bei der Sammlung von Tagesproben auf dem Filter z.B. bei Ozonkonzentrationen über 120 µg/m<sup>3</sup> 40 % und mehr des Benzo(a)pyrens verlorengehen. Da aber an den hier untersuchten Standorten erhöhte Konzentrationen von PAK praktisch nur im Winter bei tiefen Ozonkonzentrationen auftreten, spielt dieses Problem bei den hier präsentierten Daten zumindest für die Winter- und Jahresmittelwerte kaum eine Rolle.

### 3.3 Analytik

Mit der Analyse der Proben des Jahres 2020 auf PAK wurde wie in den Vorjahren das Gewässerschutzlabor des Kantons Zürich beauftragt. Dieses Labor hat grosse Erfahrung in solchen Analysen und folgte methodisch den Vorgaben der EN-Norm 15549 (CEN 2008). Zusätzlich zu den von der europäischen Richtlinie geforderten PAK bestimmte das Labor auch Pyren, Chrysen und Benzo(ghi)perylen (Tab. 3).

Als wichtiges Element der Qualitätssicherung wurde wiederum der zertifizierte PM10-Referenzstaub ERM-CZ100 des European Institute for Reference Materials and Measurements (Geel, Belgium) mitanalysiert. Die Wiederfindungsraten bewegten sich zwischen 75 – 96 %, die analytische Messunsicherheit beträgt rund 20 %.

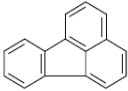
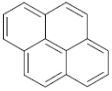
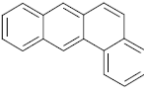
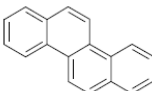
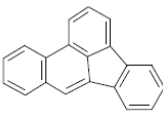
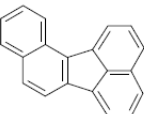
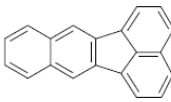
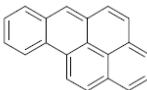
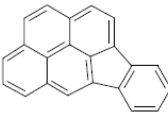
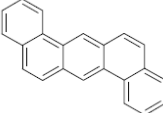
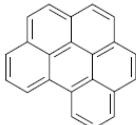
### 3.4 Toxizität

Die analysierten PAK mit ihren Siedepunkten, den zugehörigen Toxizitäts-Äquivalentfaktoren (Nisbet and LaGoy 1992; Collins et al. 1998) sowie ihren Strukturformeln sind in Tabelle 3 ersichtlich. Die Toxizitäts-Äquivalentfaktoren geben die relative Toxizität im Vergleich zu Benzo(a)pyren (TEF = 1) an. Benzo(b)fluoranthen und Benzo(j)fluoranthen konnten chromatografisch nicht getrennt werden und resultieren daher als Summe. Da beide Substanzen identische TEF-Werte aufweisen gehen keine Toxizitätsinformationen verloren.

Bei der US EPA (United States Environmental Protection Agency) befindet sich seit 2010 eine neuere Beurteilung der Schädlichkeit verschiedener PAK im Vernehmlassungsverfahren (EPA 2010). Dieses Verfahren wurde im Dezember 2018 bis auf Weiteres sistiert (EPA 2018).

Samburova et al. kommen in ihrer Studie von 2017, in welcher Daten von 88 verschiedenen gas- und partikelförmigen PAK-Verbindungen aus 13 verschiedenen Projekten analysiert wurden, zum Schluss, dass in Bezug auf die Toxizität TEF-Werte von weiteren PAK-Verbindungen bestimmt werden sollten. Bis anhin existieren TEF-Werte für 17 verschiedene PAK-Verbindungen. In der Studie wird auch auf die Bedeutung von Messungen von gasförmigen PAK-Verbindungen hingewiesen.

Tab. 3: Gemessene PAK mit ihren Siedepunkten (°C), Toxizitäts-Äquivalentfaktoren (TEF) (Nisbet and LaGoy 1992; Collins et al. 1998) und Strukturformeln.

Verbindung	Siedepunkt	TEF	Struktur
Fluoranthren	384	0.001	
Pyren	364	0.001	
Benz(a)anthracen	435	0.1	
Chrysen	441	0.01	
Benzo(b)fluoranthren	481	0.1	
Benzo(j)fluoranthren	481	0.1	
Benzo(k)fluoranthren	481	0.1	
Benzo(a)pyren	496	1	
Indeno(1,2,3,cd)pyren	534	0.1	
Dibenzo(ah)anthracen	535	1	
Benzo(ghi)perylen	542	0.01	

## 4 Resultate der PAK-Analysen

Einen Überblick über die Resultate von 2020 an allen Messstellen gibt die Tabelle 4. Grafisch sind die Jahresmittelwerte der Konzentrationen der toxikologisch relevanten PAK im PM10 in der Abbildung 1 dargestellt. Es werden jene 6 PAK gezeigt die mehr als 1 % zum toxischen Potential beitragen. Abbildung 3 zeigt die prozentuale Verteilung der 2020 gemessenen PAK an den verschiedenen Messstationen, wobei Fluoranthen, Pyren, Chrysen und Benzo(ghi)perylen wegen ihrer geringen toxikologischen Relevanz ( $TEF \leq 0.01$ ) in einer Gruppe zusammengefasst wurden. Aus den beiden Abbildungen 1 und 3 ist ersichtlich, dass sich die Standorte in ihrer relativen Zusammensetzung der verschiedenen PAK nicht wesentlich unterscheiden. In Abbildung 2 sind die Jahresmittelwerte der gemessenen Konzentrationen der toxikologisch relevanten PAK im PM10 in 4 Gruppen (Verkehr, Städtisch/Vorstädtisch, Ländlich und Ländlich/beeinflusst durch Holzfeuerung) mit jeweils ähnlicher Luftbelastung zusammengefasst. In der Gruppe "Verkehr" sind die stark verkehrsbelasteten Standorte Bern-Bollwerk, Härkingen-A1 und Lausanne-César-Roux vertreten. In der Gruppe Städtisch/Vorstädtisch sind die Messstationstypen Städtischer Hintergrund und Vorstädtisch (Lugano-Universität, Zürich-Kaserne, Basel-Binningen und Dübendorf-Empa) enthalten. Die beiden ländlichen Messstationen Magadino-Cadenazzo und San Vittore weisen einen hohen Anteil an Holzheizungen auf und wurden daher in der Gruppe "Ländlich/beeinflusst durch Holzfeuerung" vereinigt. Die Gruppe "Ländlich" umfasst die restlichen ländlichen Messstationen (Beromünster, Payerne und Tänikon). Die Gruppe "Ländlich/beeinflusst durch Holzfeuerungen" zeigt gegenüber den übrigen drei Gruppen stark erhöhte Konzentrationen der toxikologisch relevanten PAK im PM10.

Im Anhang in der Tabelle A1 sind alle Quartalsmittelwerte der PAK-Konzentrationen der NABEL-Stationen und in der Tabelle A2 die entsprechenden Resultate der kantonalen Messstationen notiert. Deutlich zu erkennen sind die saisonalen Variationen zwischen Sommer- und Winterquartalen. Es fällt auf, dass für alle relevanten PAK die höchsten Konzentrationen nicht an den stark verkehrsbelasteten Stationen Bern-Bollwerk, Lausanne-César-Roux oder Härkingen-A1, sondern an ländlichen Stationen wie San Vittore, Ebnet-Kappel und Magadino-Cadenazzo gemessen wurden. Dies ist ein klares Indiz für den wesentlichen Beitrag von Holzfeuerungen zur PAK-Belastung in den Wintermonaten. Darauf weist auch die Untersuchung von Zotter et al. (2014) hin, welche für San Vittore aufgrund von  $^{14}\text{C}$ -Messungen im Feinstaub einen grossen Einfluss der Biomassenverbrennung aufzeigt. Die vorhandenen Resultate der Winter-Quartalsmittelwerte von

Ebnat-Kappel zeigen, dass auch in Tälern der Alpennordseite erhöhte PAK-Werte auftreten können. Die nur mässig hohen PAK-Konzentrationen in Lugano-Universität zeigen zudem, dass die Alpensüdseite nicht generell erhöhte Werte aufweist.

Bereits 1995 ging aus einer Untersuchung der Kantone Zürich, Schaffhausen und Luzern hervor, dass Emissionen von Holzfeuerungen tatsächlich bedeutende Mengen von PAK enthalten (Schläpfer 1995). Damals wurden die höchsten BaP-Werte nicht in Zürich oder Luzern, sondern während einer Winterkampagne im ländlichen Dorf Hemmental (SH) gemessen. Auch ein Bericht über die Benzo(a)pyrenbelastungen 2013 und 2014 im Bundesland Tirol (Österreich) zeigt höhere Belastungen in Siedlungsgebieten als an verkehrsexponierten Standorten (Krismer, 2015).

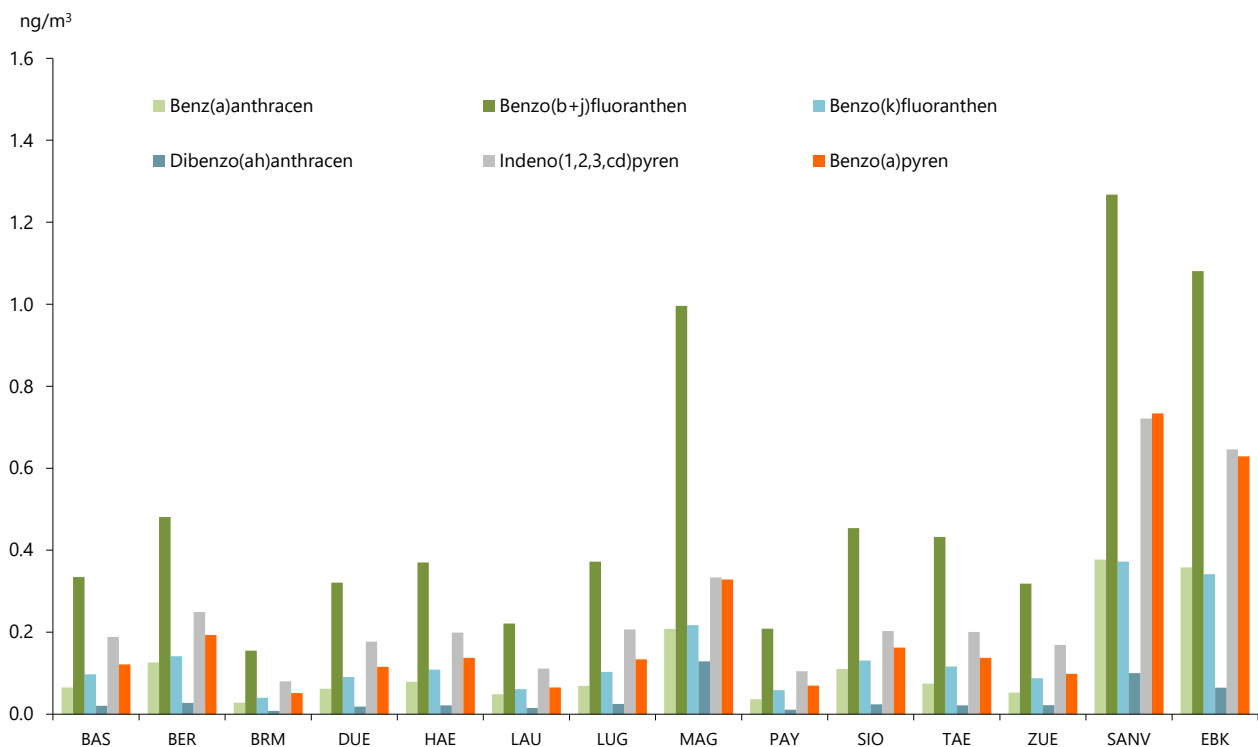


Abb. 1: Jahresmittelwerte 2020 der Konzentrationen der toxikologisch relevanten PAK im PM10 an den einzelnen Messstationen.

Tab. 4: Jahresmittelwerte 2020 der PM10-Konzentrationen ( $\mu\text{g}/\text{m}^3$ ) und PAK-Konzentrationen ( $\text{ng}/\text{m}^3$ ).

Messstelle	PM10 ( $\mu\text{g}/\text{m}^3$ )*	Fluoranthen	Pyren	Benz(a)anthracen	Chrysen	Benzo(b+j)fluoranthen	Benzo(k)fluoranthen	Benzo(a)pyren	Indeno(1,2,3,cd)pyren	Dibenzo(ah)anthracen	Benzo(ghi)perylene
Basel	11.76	0.13	0.13	0.06	0.11	0.33	0.10	0.12	0.19	0.02	0.20
Bern	16.37	0.31	0.24	0.13	0.21	0.48	0.14	0.19	0.25	0.03	0.29
Beromünster	8.85	0.07	0.08	0.03	0.06	0.16	0.04	0.05	0.08	0.01	0.08
Dübendorf	11.9	0.12	0.12	0.06	0.11	0.32	0.09	0.12	0.18	0.02	0.18
Härkingen	13.05	0.14	0.14	0.08	0.15	0.37	0.11	0.14	0.20	0.02	0.23
Lausanne	13.17	0.10	0.09	0.05	0.10	0.22	0.06	0.07	0.11	0.01	0.13
Lugano	15.32	0.10	0.11	0.07	0.15	0.37	0.10	0.13	0.21	0.03	0.22
Magadino	15.09	0.12	0.14	0.21	0.60	1.00	0.22	0.33	0.33	0.13	0.42
Payerne	10.06	0.08	0.09	0.04	0.07	0.21	0.06	0.07	0.10	0.01	0.12
Sion	14.95	0.13	0.14	0.11	0.19	0.45	0.13	0.16	0.20	0.02	0.25
Tänikon	9.9	0.13	0.15	0.07	0.14	0.43	0.12	0.14	0.20	0.02	0.21
Zürich	12.11	0.11	0.11	0.05	0.10	0.32	0.09	0.10	0.17	0.02	0.17
San Vittore	18.45	0.21	0.24	0.38	0.53	1.27	0.37	0.73	0.72	0.10	0.71
Ebnat-Kappel	11.35	0.49	0.58	0.36	0.45	1.08	0.34	0.63	0.65	0.06	0.67

Bemerkung:

\*Um einen korrekten Vergleich der PAK-Konzentrationen mit den PM10-Konzentrationen zu gewährleisten, bzw. um die korrekten PAK Gehalte zu bestimmen, wurden für die Berechnungen der PM10 Jahresmittelwerte nur die Tageswerte jener Tage verwendet die in die Bestimmung der PAK-Konzentrationen einfließen.

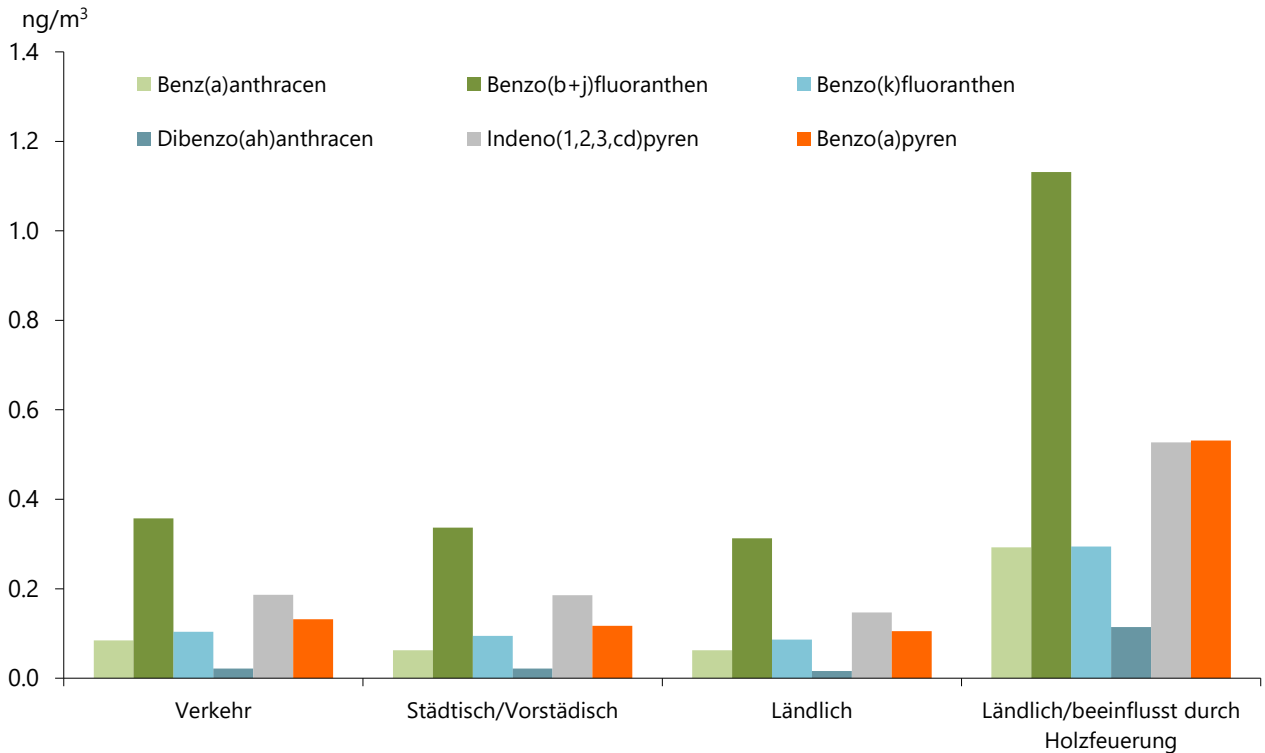


Abb. 2: Jahresmittelwerte 2020 der Konzentrationen der toxikologisch relevanten PAK im PM10 in Gruppen gleicher Luftbelastung zusammengefasst

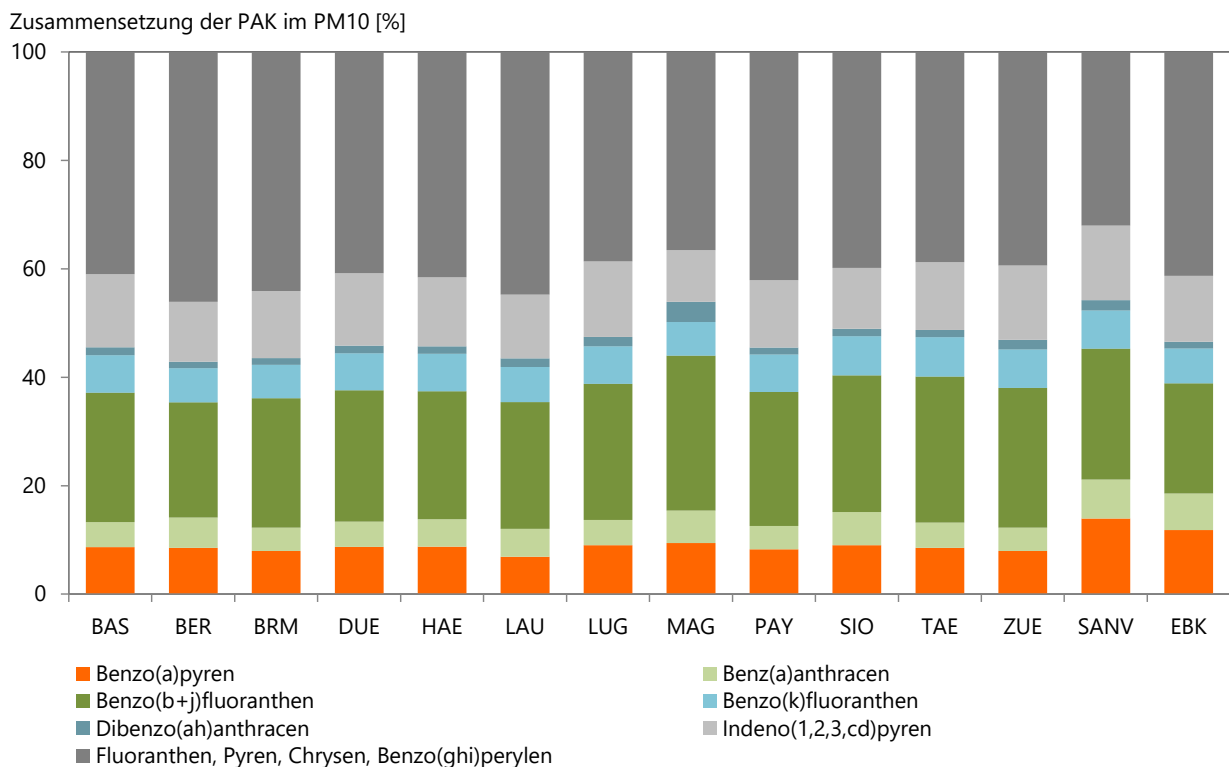


Abb. 3: Relative Zusammensetzung der 2020 gemessenen PAK im PM10.

Eine Auswertung zur relativen Toxizität der gemessenen PAK-Konzentrationen von 2020 zeigt, dass Benzo(a)pyren allein für rund 57 % der Toxizität der PAK im Feinstaub verantwortlich ist. Bei der Gewichtung der gemessenen PAK-Konzentrationen mit den Toxizitäts-Äquivalentfaktoren (TEF) tragen neben Benzo(a)pyren zusätzlich im Mittel Benzo(b+j)fluoranthen, Dibenzo(ah)anthracen, Indeno(1,2,3,cd)pyren zu rund 16, 10, 8 % sowie Benzo(k)fluoranthen und Benz(a)anthracen zu je 4 % zur Toxizität bei (Abbildung 4). Die Resultate in Tabelle 5 und Abbildung 5 zeigen deutlich, dass die relativen Beiträge der einzelnen PAK zur Toxizität von PM10 an allen Stationen sehr ähnlich sind. Bei den Standorten San Vittore und Ebnat-Kappel haben die stark erhöhten Winter-Quartale einen grossen Einfluss auf die Verteilung der relativen Beiträge der einzelnen PAK zur Toxizität. In Abbildung 6 ist ein Vergleich der durch PAK bedingten Toxizität von PM10 an den einzelnen Messstationen im Jahr 2020 dargestellt. Gegenüber den anderen Stationen zeigen San Vittore, Ebnat-Kappel und Magadino-Cadenazzo deutlich erhöhte Werte. Die Toxizitätsäquivalente werden als Summenprodukte aus den einzelnen PAK-Konzentrationen und den dazugehörigen Toxizitäts-Äquivalentfaktoren (TEF) berechnet.

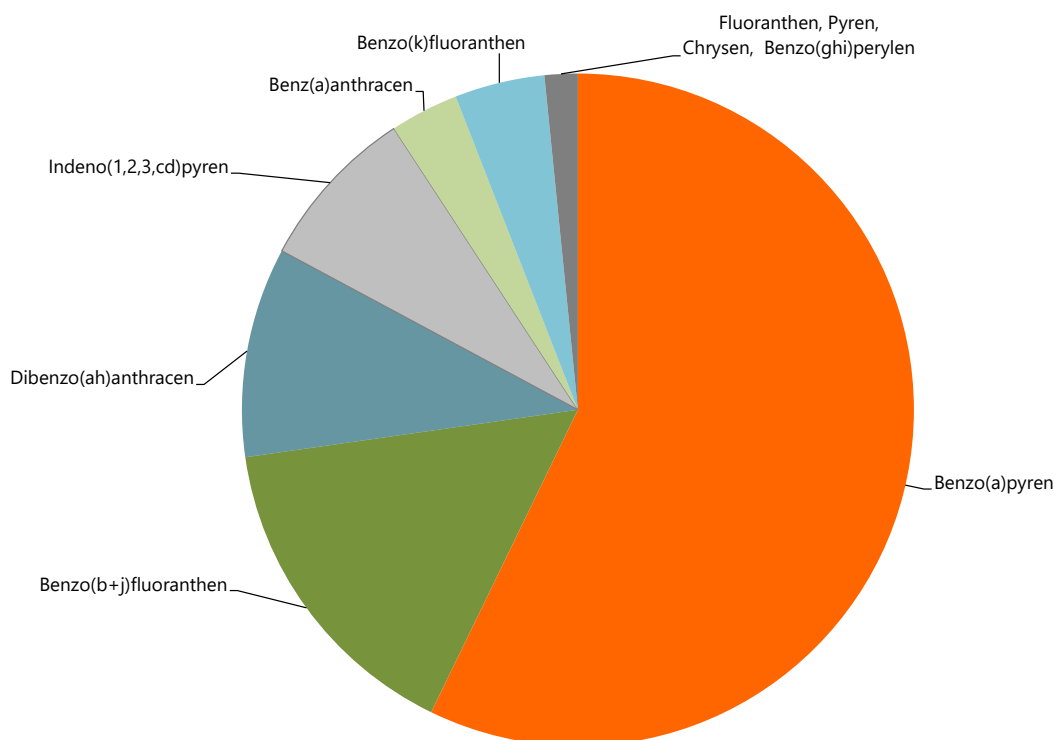


Abb. 4: Mittlere Beiträge der einzelnen PAK an der gesamten Toxizität der 2020 im PM10 gemessenen polyzyklischen aromatischen Kohlenwasserstoffe (Mittelwerte aller Messstationen).

Tab. 5: Relative Beiträge der einzelnen PAK zur Toxizität von PM10 in % im Jahr 2020.

Messstelle	Fluoranthen	Pyren	Benz(a)anthracen	Chrysen	Benzo(b+j)fluoranthen	Benzo(k)fluoranthen	Benzo(a)pyren	Indeno(1,2,3,cd)pyren	Dibenzo(ah)anthracen	Benzo(ghi)perylen
Basel	0.1	0.1	3.0	0.5	15.7	4.5	56.8	8.8	9.5	0.9
Bern	0.1	0.1	3.9	0.6	14.7	4.3	59.2	7.6	8.5	0.9
Beromünster	0.1	0.1	3.0	0.6	16.9	4.4	56.5	8.8	8.7	0.9
Dübendorf	0.1	0.1	3.1	0.5	15.9	4.5	57.0	8.8	9.2	0.9
Härkingen	0.1	0.1	3.3	0.6	15.5	4.6	57.6	8.3	9.0	0.9
Lausanne	0.1	0.1	3.8	0.8	17.4	4.8	51.4	8.8	11.8	1.0
Lugano	0.0	0.0	2.9	0.6	15.6	4.3	56.2	8.7	10.6	0.9
Magadino	0.0	0.0	3.2	0.9	15.5	3.4	51.1	5.2	20.0	0.6
Payerne	0.1	0.1	3.0	0.6	16.9	4.7	56.4	8.5	8.8	1.0
Sion	0.0	0.1	3.9	0.7	16.1	4.7	57.8	7.2	8.6	0.9
Tänikon	0.1	0.1	3.0	0.6	17.6	4.7	56.0	8.2	8.9	0.9
Zürich	0.1	0.1	2.8	0.5	17.1	4.7	52.9	9.1	11.8	0.9
San Vittore	0.0	0.0	3.4	0.5	11.3	3.3	65.5	6.4	8.9	0.6
Ebnat-Kappel	0.1	0.1	3.8	0.5	11.4	3.6	66.3	6.8	6.8	0.7

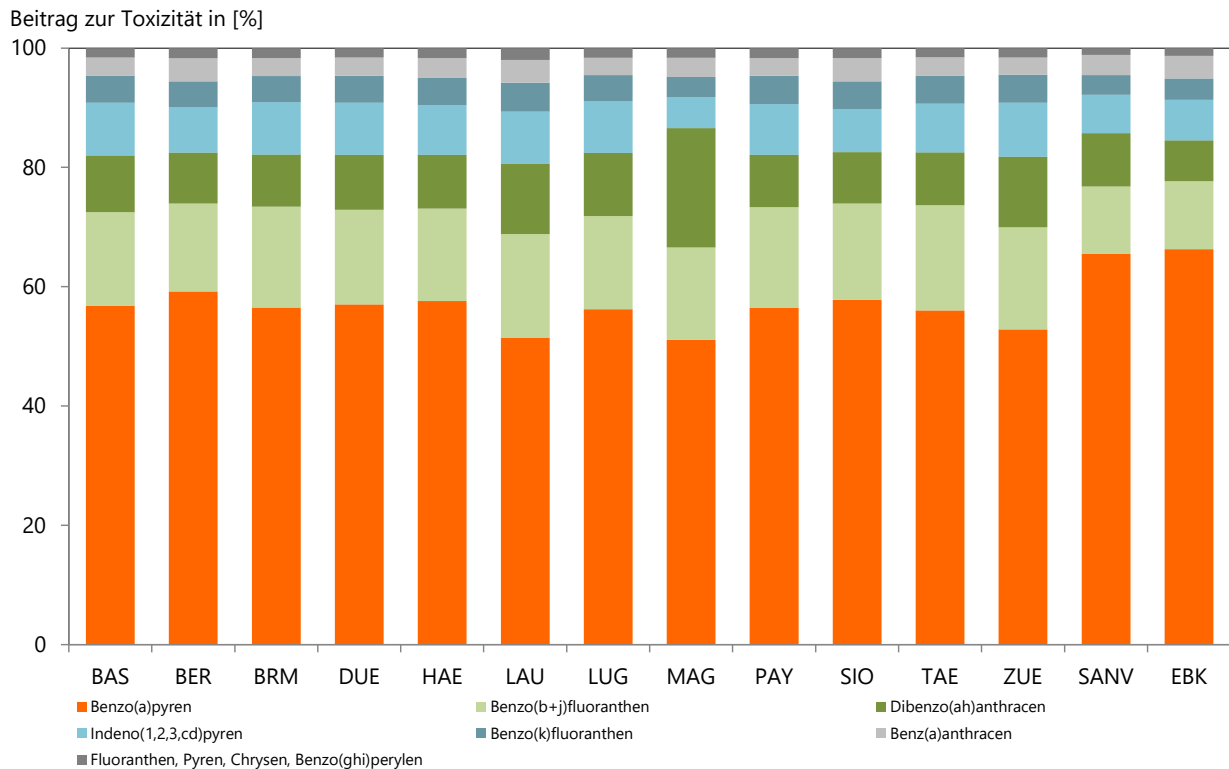


Abb. 5: Relative Beiträge der einzelnen PAK zur Toxizität von PM10 im Jahr 2020.

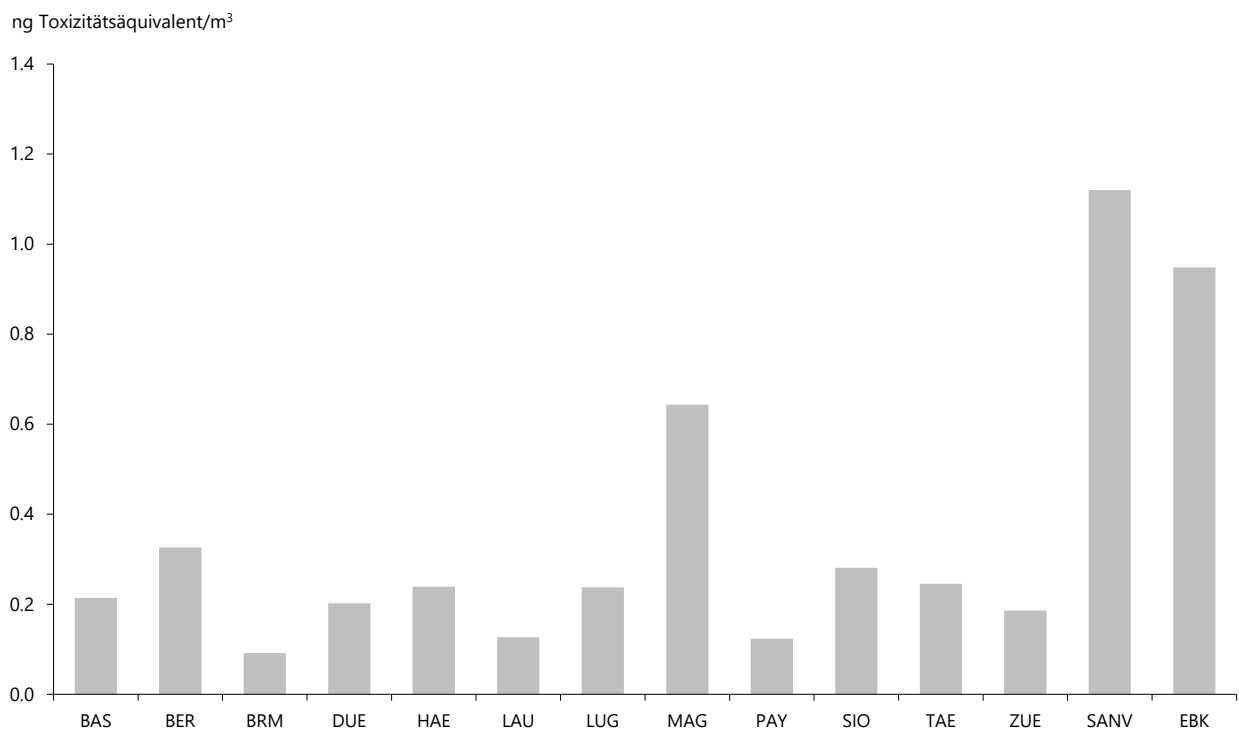


Abb. 6: Vergleich der durch PAK bedingten Toxizität von PM10 an den einzelnen Messstationen im Jahr 2020

## 5 Detaillierte Darstellung der Resultate für Benzo(a)pyren

Die Abbildungen 4 und 5 und die Resultate in Tabelle 5 zeigen deutlich, dass Benzo(a)pyren (BaP) der mit Abstand wichtigste Indikator für die Toxizität der PAK im Feinstaub ist. Deshalb werden in diesem Kapitel die Ergebnisse der Messungen von BaP detaillierter analysiert und dargestellt.

Abbildung 7 zeigt die Jahresmittelwerte 2020 der Konzentrationen von BaP, sowie die entsprechenden PM10 Konzentrationen an den verschiedenen Stationen. Im Jahr 2020 wurde, wie schon im Vorjahr, an keiner Messstation der europäische Zielwert von  $1 \text{ ng/m}^3$  überschritten. In San Vittore, jene Messstation mit den höchsten Konzentrationen, liegt der Jahresmittelwert 2020 mit  $0.73 \text{ ng/m}^3$ , wie die vergangenen 3 Jahren, unter dem Zielwert. An allen anderen untersuchten Stationen liegen die BaP-Konzentrationen 2020 zwischen  $0.05$  (Beromünster) und  $0.63 \text{ } \mu\text{g/m}^3$  (Ebnat-Kappel) und sind damit deutlich unterhalb des europäischen Zielwertes.

Die Station San Vittore ist wegen ihrer Lage im Talgrund während winterlicher Inversionslagen besonders schlecht durchlüftet. Zudem sind in den Dörfern des Misox Holzfeuerungen sehr verbreitet. Das höchste Verhältnis im Jahr 2020 von BaP/PM10 ( $0.055$ ) weist der Messstandort Ebnat-Kappel auf und in San Vittore wurde mit  $0.040$  das höchste Verhältnis der vollständigen Messreihen registriert. Es folgt das Verhältnis von der Station Magadino ( $0.022$ ), auch dies ein Indiz für den wesentlichen Beitrag von Holzfeuerungen zur PAK-Belastung an diesen Standorten.

In den Abbildungen 8 und 9 ist der langjährige Verlauf der Jahresmittelwerte der Benzo(a)pyren-Konzentrationen an den verschiedenen Stationen seit Messbeginn im Jahre 2006 dargestellt. Die Benzo(a)pyren Belastung hat an allen untersuchten Standorten seit 2006 abgenommen und liegt inzwischen für alle Stationen deutlich unter dem europäischen Zielwert von  $1 \text{ ng/m}^3$ . Am Standort Ebnat-Kappel wurde 2020 mit  $0.63 \text{ ng/m}^3$  ein Jahresmittel im Bereich der letzten durchgeführten Messungen an dieser Station in den Jahren 2010 – 2012 registriert. Abbildung 10 zeigt den Verlauf der Jahresmittelwerte von BaP im PM10 in 4 Gruppen (Verkehr, Städtisch/Vorstädtisch, Ländlich und Ländlich/beeinflusst durch Holzfeuerung) zusammengefasst. Wie schon in Abbildung 2 zeigt sich auch im langjährigen Verlauf der Jahresmittelwerte, dass die Konzentrationen der Gruppe "Ländlich/beeinflusst durch Holzfeuerungen" stark erhöhte Messwerte gegenüber den Resultaten der übrigen drei Gruppen aufweisen. In Abbildung 11 sind die Perzentile der Jahresmittelwerte aller Messstationen (inkl. San Vittore) zusammengefasst, auch in dieser Grafik ist die deutliche Abnahme der Immissionen von BaP an allen Standorten klar ersichtlich. Die Minimalwerte der vergangenen 9 Jahre sind stabil und die tiefsten BaP Jahresmittelwerte wurden jeweils an der Station Payerne (und seit 2012 auch am Standort Lausanne, sowie seit 2019 in Beromünster)

gemessen. Die maximalen Jahresmittelwerte wurden in allen Jahren am Standort San Vittore registriert. In den ersten 6 Jahren nach Messbeginn wurde der europäische Zielwert von  $1 \text{ ng/m}^3$  jeweils überschritten. In den vergangenen 7 Jahren kam es einzig im Jahr 2015 zu einer Überschreitung, ansonsten lag der Jahresmittelwert jeweils unter  $1 \text{ ng/m}^3$ .

Detaillierte Darstellung der Resultate für Benzo(a)pyren

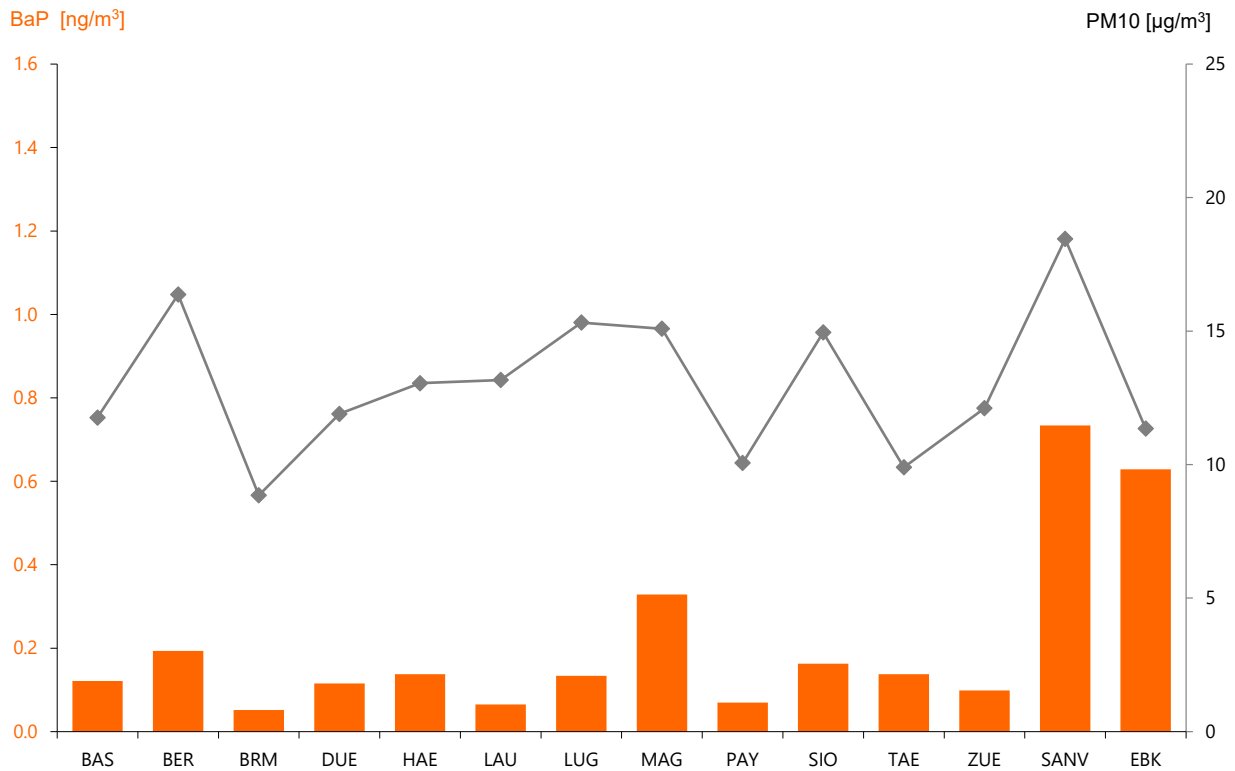


Abb. 7: Jahresmittelwerte 2020 der Konzentrationen von Benzo(a)pyren und PM10.

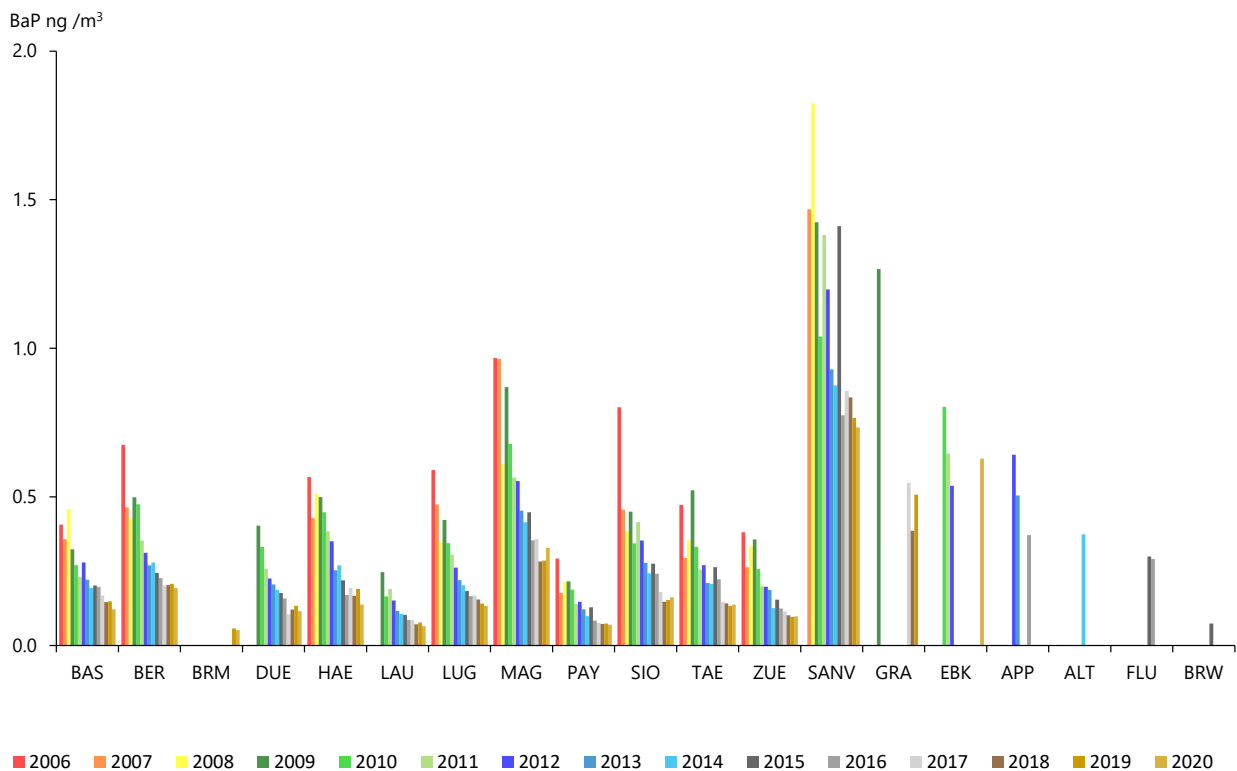


Abb. 8: Jahresmittelwerte 2006 bis 2020 der Konzentrationen von Benzo(a)pyren im PM10. (Ebnet-Kappel, Grabs, Flums, Appenzell, Altstätten und Braunwald unvollständige Messreihe, siehe Tab. 2).

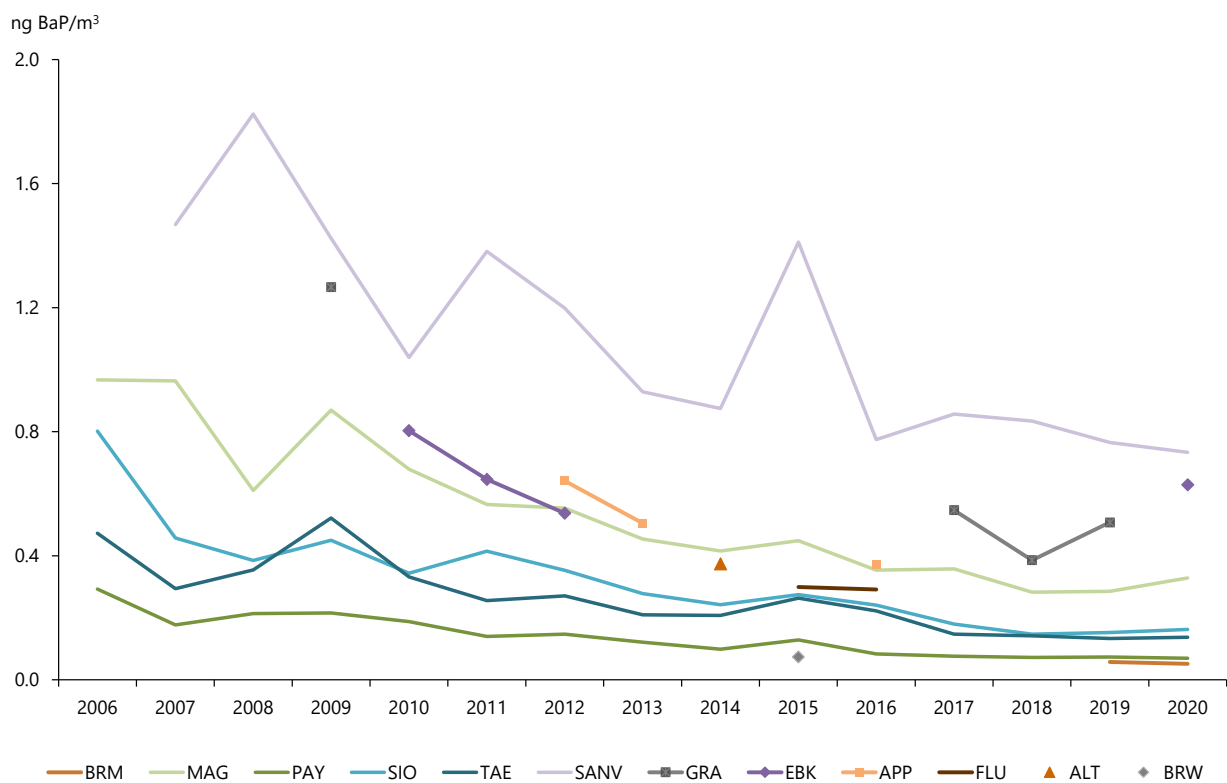
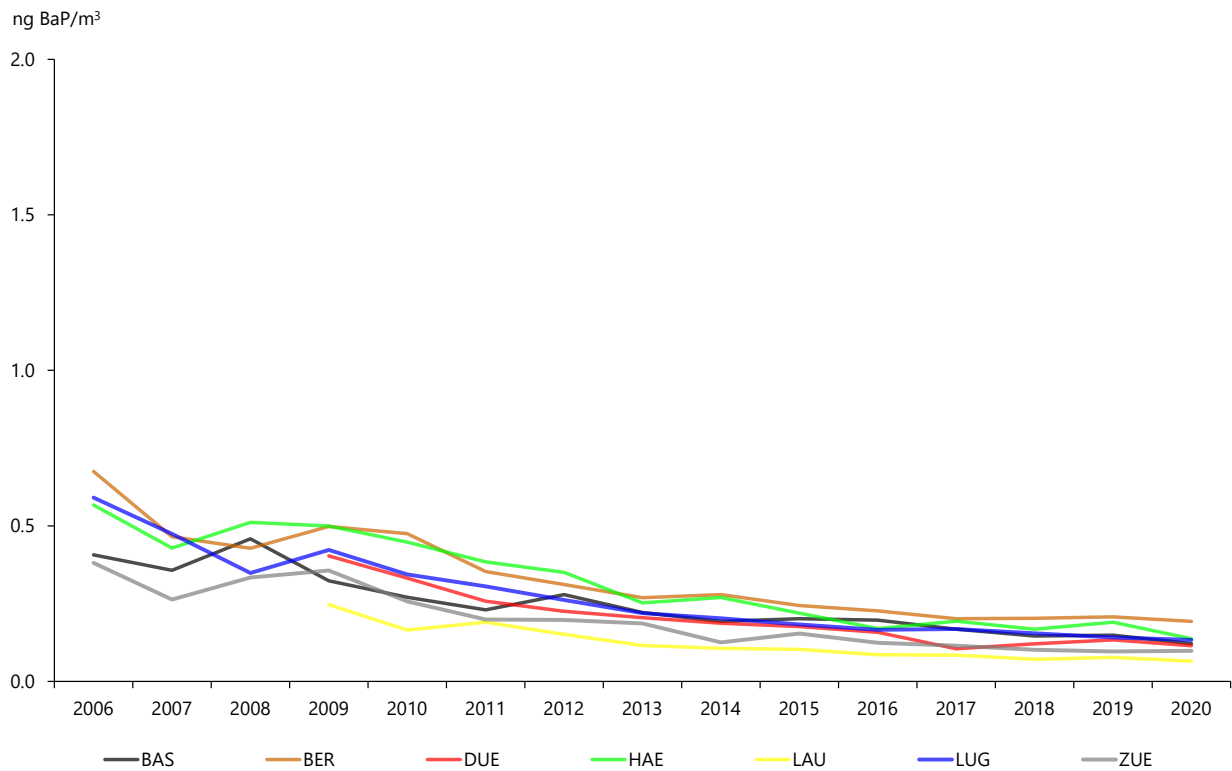


Abb. 9: Jahresmittelwerte 2006 bis 2020 der Konzentrationen von Benzo(a)pyren im PM10. Oben städtische, vorstädtische Stationen und Verkehrsstandorte, unten ländliche Standorte (Ebnet-Kappel, Grabs, Flums, Appenzell, Altstätten und Braunwald unvollständige Messreihe, siehe Tab. 2).

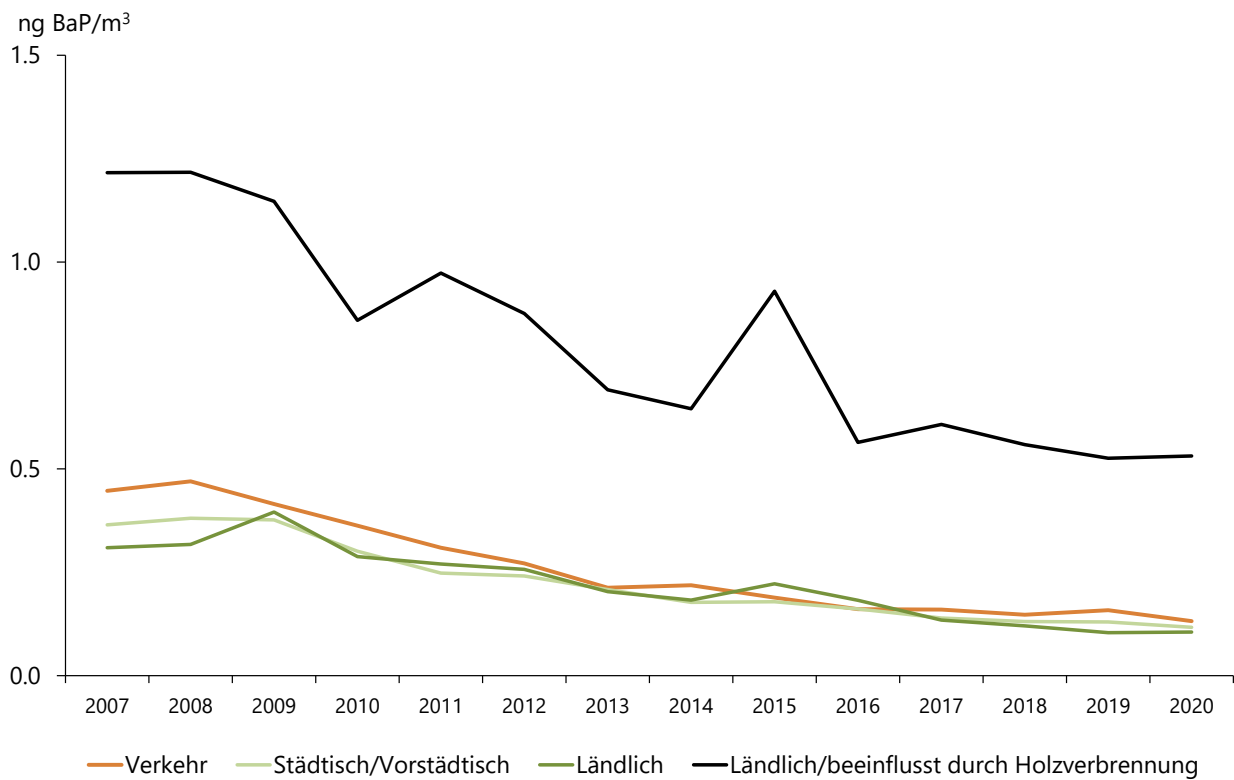


Abb. 10: Jahresmittelwerte 2007 bis 2020 der Konzentrationen von Benzo(a)pyren im PM10.

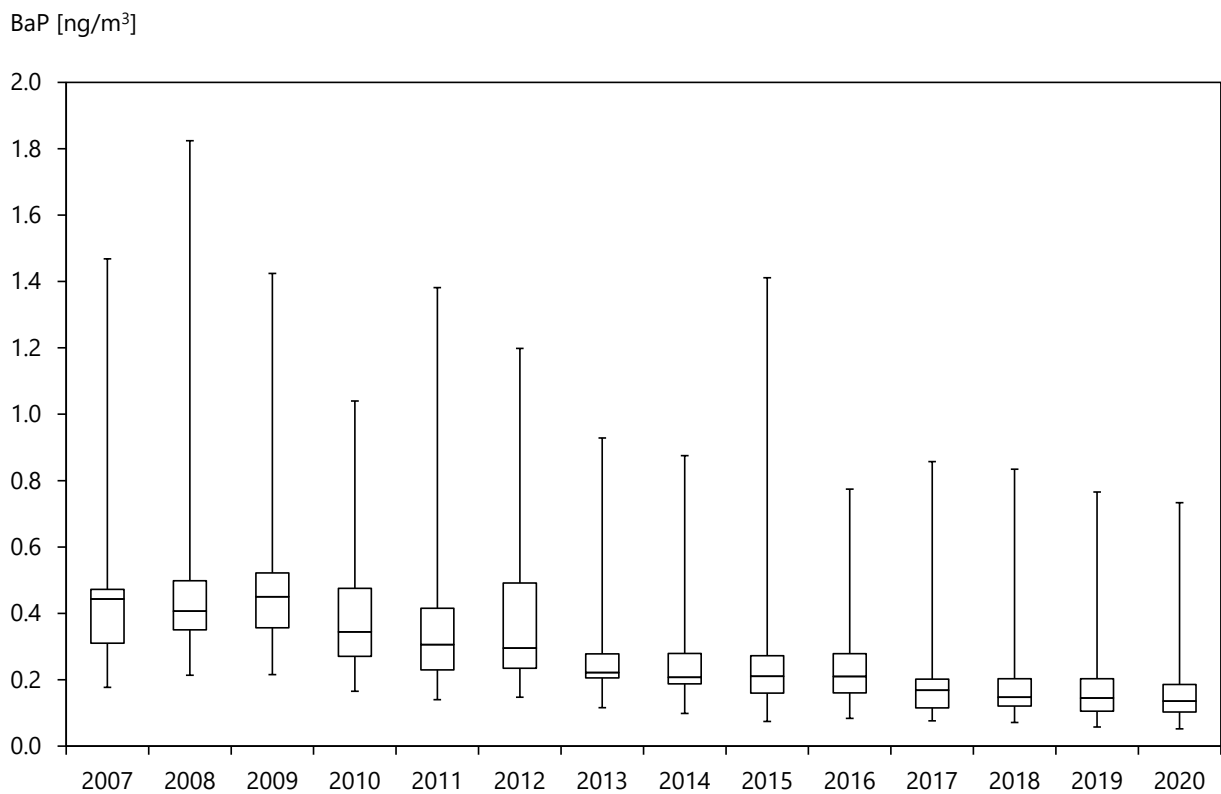


Abb.11: Jahresmittelwerte der Konzentrationen von Benzo(a)pyren im PM10 aller Stationen an denen seit 2007 Messungen in Betrieb sind, Boxplot.

Den langjährigen Verlauf der Quartalswerte der Benzo(a)pyren-Konzentrationen aller Stationen von 2006 – 2020 zeigt die Abbildung 12. In Abbildung 13 sind die Quartalswerte der Gehalte von Benzo(a)pyren im PM10 aller Standorte im Beobachtungszeitraum dargestellt. Klar zum Ausdruck kommt in den beiden Abbildungen 12 und 13 die ausgeprägte Saisonalität der BaP-Belastungen. In den Monaten Oktober bis März waren die Quartalsmittelwerte am Standort San Vittore jeweils höher als der für den Jahresdurchschnitt definierte Zielwert. Diese Saisonalität kann nicht allein auf die schlechteren Ausbreitungsbedingungen im Winter zurückgeführt werden. Die folgenden Beobachtungen deuten darauf hin, dass die Biomassenverbrennung einen deutlich grösseren Beitrag leistet als der Verkehr. Die Station San Vittore weist trotz Verkehrseinfluss durch die A13 im Sommer nur sehr geringe BaP-Konzentrationen auf. Ein identisches Bild, mit Überschreitungen des Zielwerts in den Quartalswerten der Monate Oktober bis März, zeigt sich bei den Resultaten der Messstation Ebnat-Kappel (vorhandene Messungen Mitte 2010 – Mitte 2012, sowie 2020). Zusammen mit den ebenfalls nur mässigen BaP-Konzentrationen an den stark verkehrsbelasteten NABEL-Stationen Bern-Bollwerk, Lausanne-César-Roux und Härkingen-A1 ist dies ein Hinweis für die eher geringe Bedeutung des Strassenverkehrs für die PAK-Belastungen der Aussenluft. Untersuchungen in Baden-Württemberg im Zeitraum 2008-2009 (LUBW 2010) an zwei verschiedenen Standorten haben zu einer analogen Annahme geführt, dass die verstärkte Nutzung von Holzfeuerungen an einem der Standorte zu erhöhten Benzo(a)Pyren-Konzentrationen geführt haben.

Neben San Vittore zeigen auch die deutlich erhöhten Werte bei den Winterquartalen der Stationen Magadino-Cadenazzo und Ebnat-Kappel (sowie in früheren Jahren Grabs, Flums und Altstätten), dass die zahlreichen Holzfeuerungen in Verbindung mit austauscharmen Inversionslagen zu sehr hohen PAK-Belastungen führen können und bestätigen somit den dominierenden Einfluss der Biomassenverbrennung.

Detaillierte Darstellung der Resultate für Benzo(a)pyren

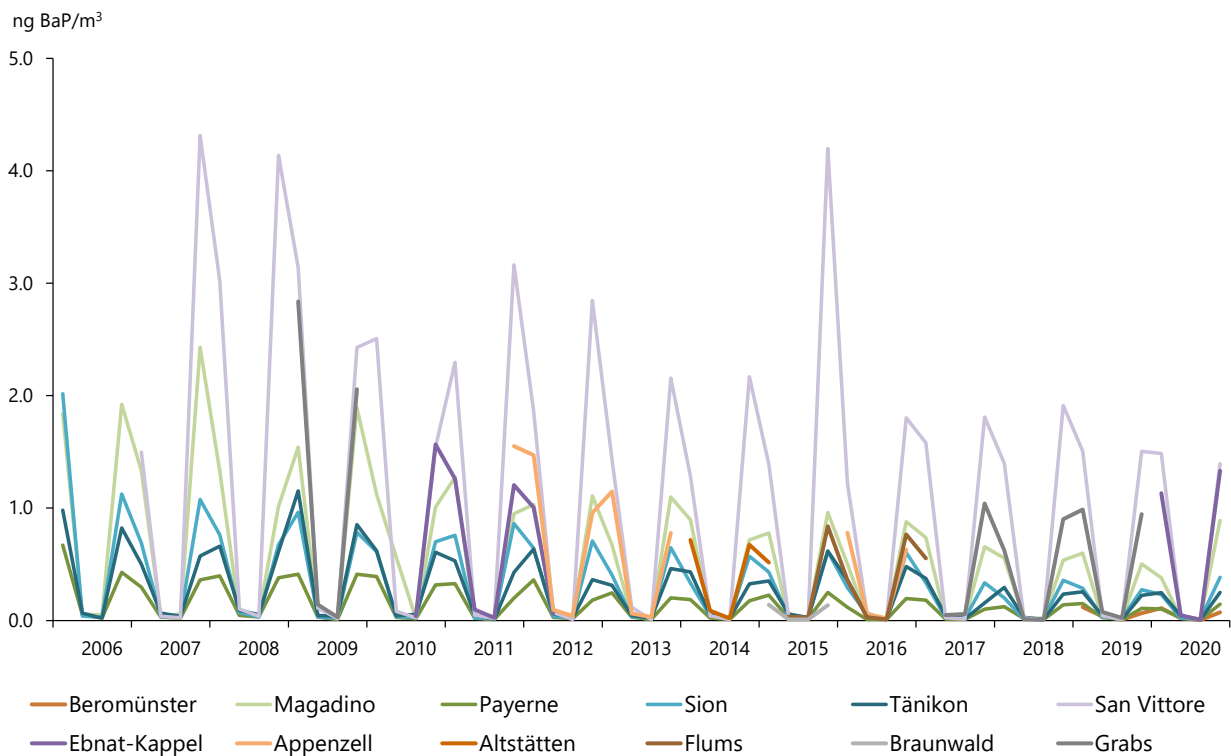
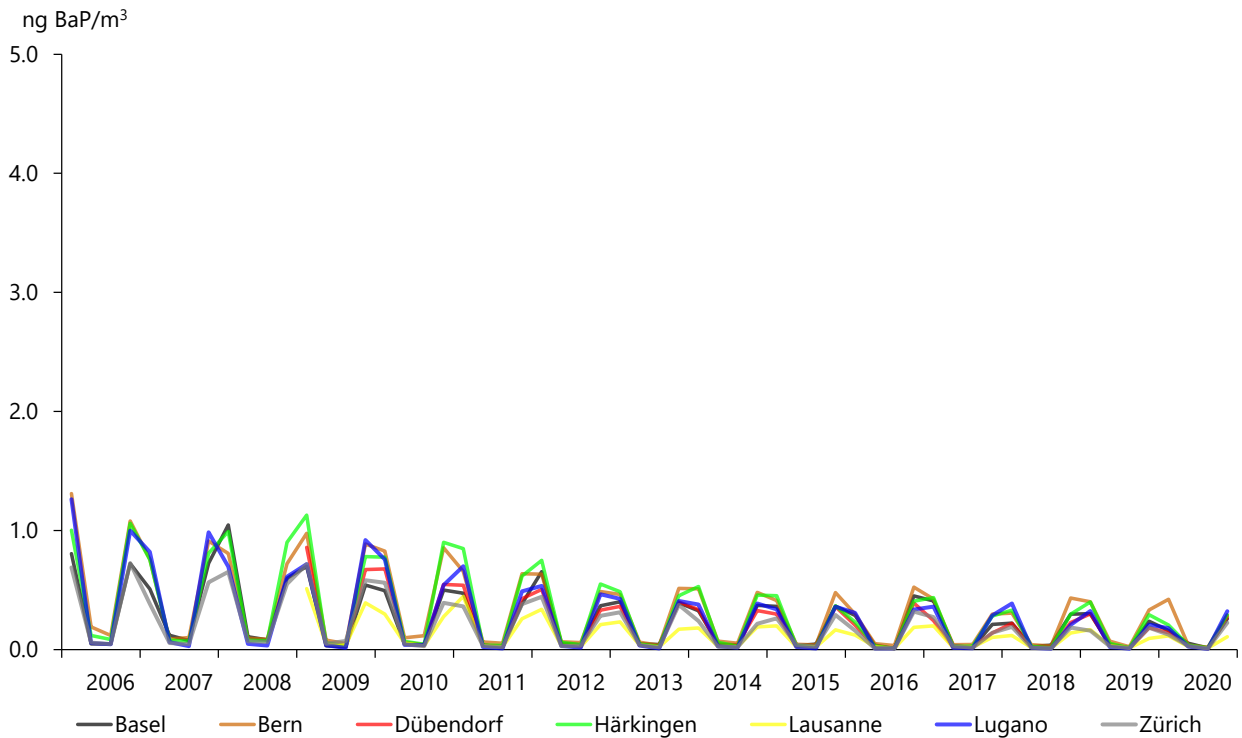


Abb. 12: Quartalswerte 2006 - 2020 der Konzentrationen von Benzo(a)pyren im PM10. Oben städtische, vorstädtische Stationen und Verkehrsstandorte, unten ländliche Standorte.

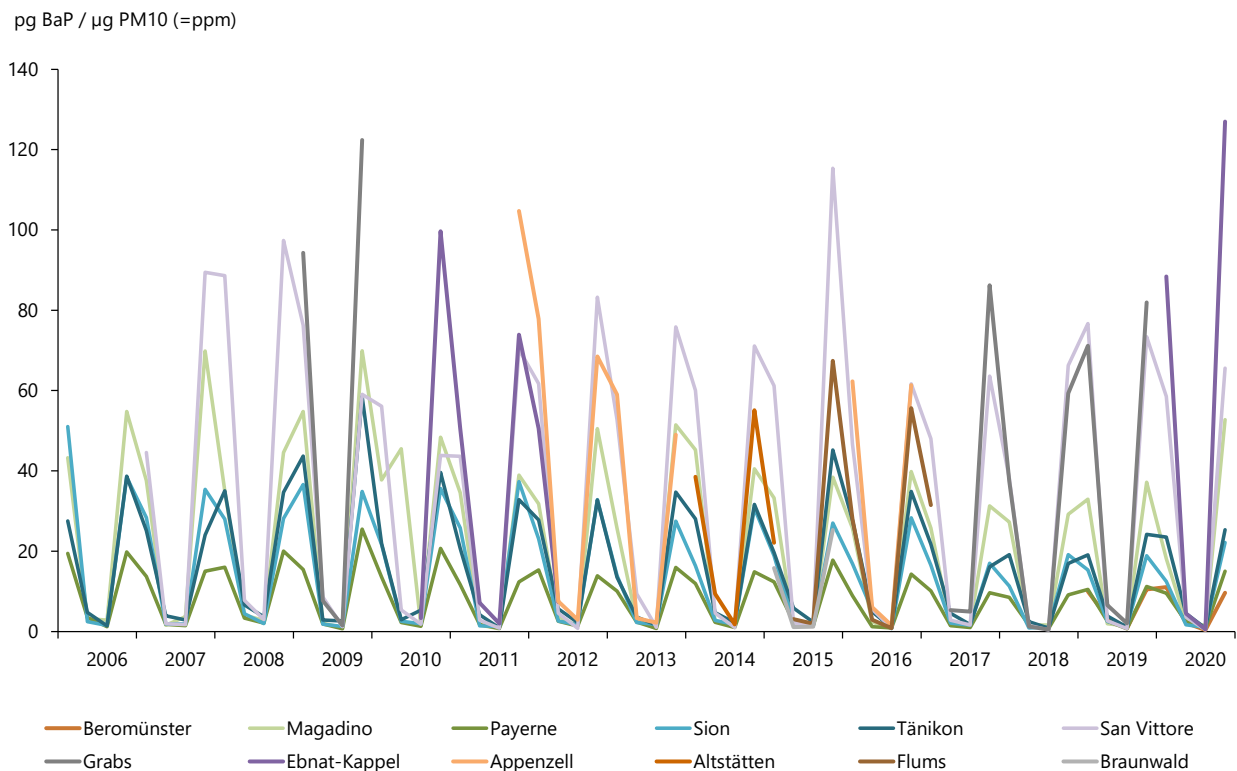
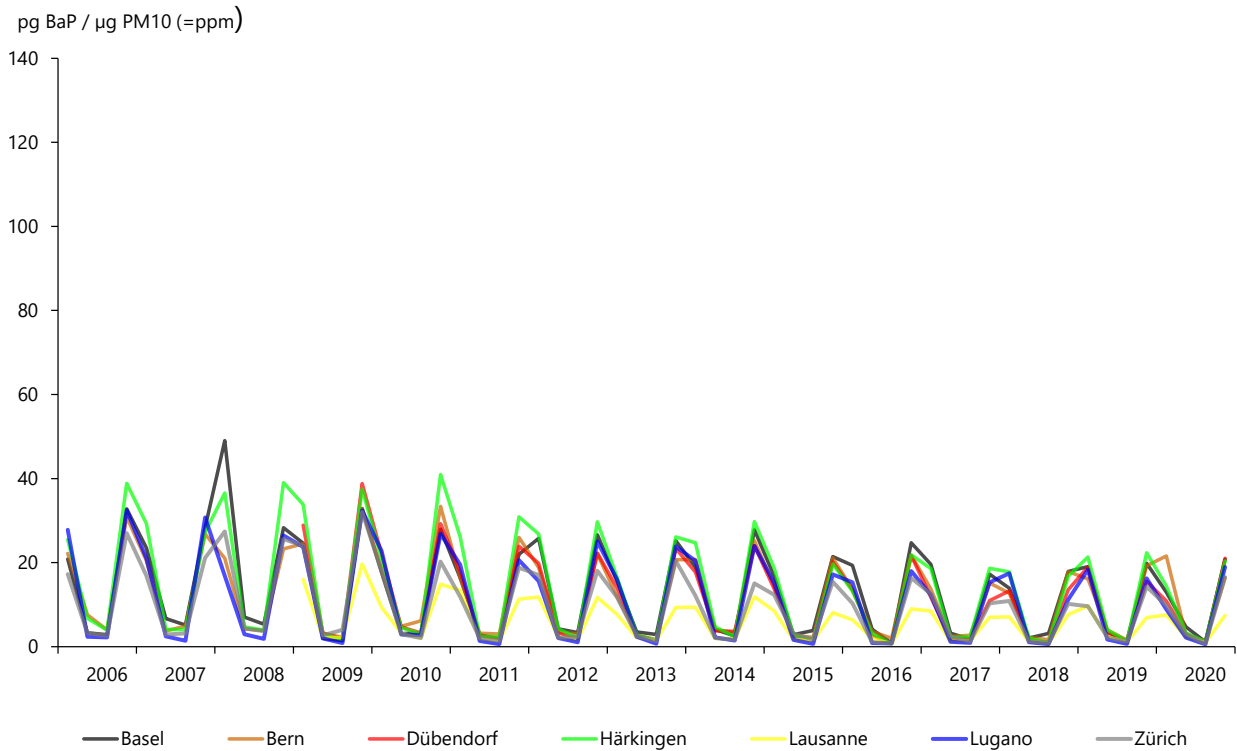
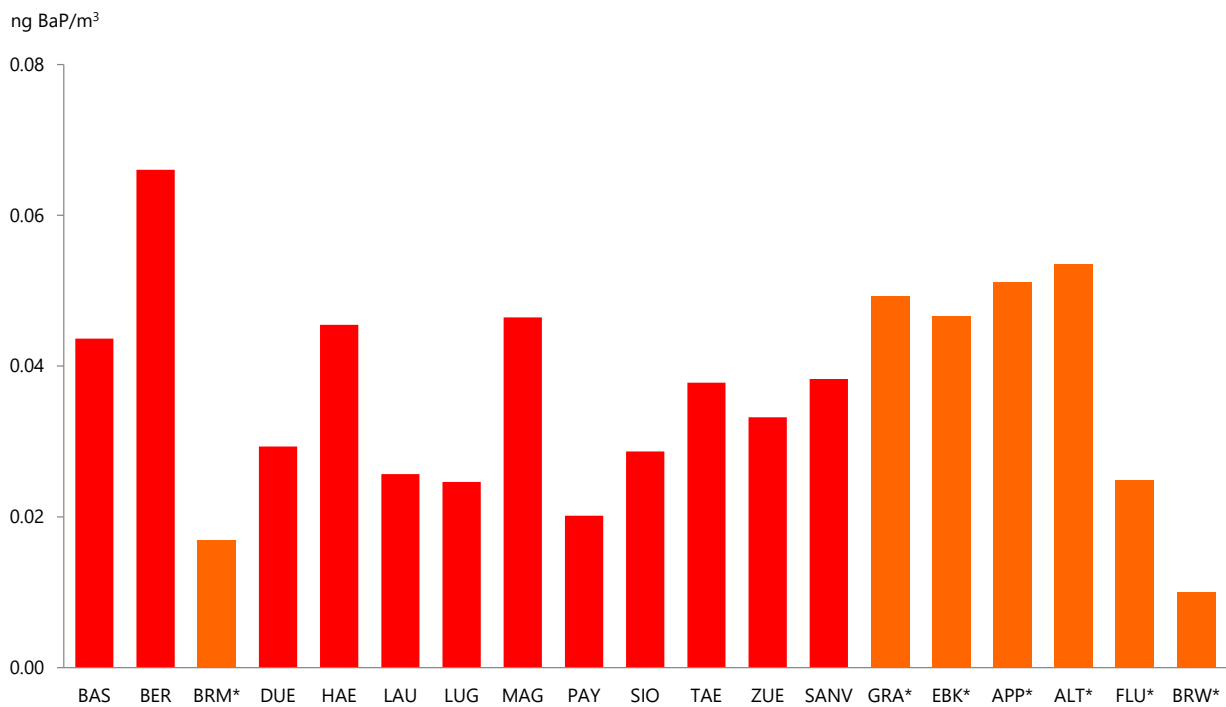


Abb. 13: Quartalswerte 2006-2020 der Gehalte von Benzo(a)pyren im PM10. Oben städtische, vorstädtische Stationen und Verkehrsstandorte, unten ländliche Standorte.

Abbildung 14 ergibt einen kompakten und durch die Mittelung über die Messjahre 2006 – 2020 für die meisten Stationen bereits recht robusten Überblick über die sehr unterschiedlichen Belastungen der BaP-Konzentrationen im Sommer und im Winter. Die dunkel- und hellblau dargestellten Mittelwerte zeigen die Mittelwerte über den gesamten Messzeitraum (einzig die Stationen San Vittore (2007), sowie Dübendorf-Empa und Lausanne-César-Roux (beide 2010) weisen einen späteren Messstart auf). Die hellroten Sommerwerte und die entsprechenden hellblauen Winterwerte zeigen Mittelwerte jener Stationen, die zwischen einem und 3.5 Jahren, während der Messjahre 2010 bis 2020, in Betrieb waren. Die Mittelwerte über den gesamten Beobachtungszeitraum der jeweiligen Stationen liegen während der Sommermonate (April – September) im Bereich von 0.02 (Payerne) – 0.07 (Bern) und während der Wintermonate (Januar – März und Oktober – Dezember) zwischen 0.22 (Lausanne) und 2.18 ng BaP/m<sup>3</sup> (San Vittore). Am Standort Beromünster liegen bis anhin Daten von zwei Messjahren vor und diese zeigen für die Sommermonate einen Mittelwert von 0.02 und die Wintermonate einen Mittelwert von 0.09 ng BaP/m<sup>3</sup>. Die Unterschiede zwischen den Mittelwerten der Winter- und der Sommermonate über alle Messjahre entsprechen einem Faktor zwischen 8.5 (Lausanne) und 57 (San Vittore).

Abbildung 15 zeigt an den verschiedenen Standorten die mittleren Gehalte an BaP im Feinstaub für die analoge Zeitperiode im Sommer und im Winter. Die dunkelroten und dunkelblauen Messwerte repräsentieren die Mittelwerte über die gesamte Messperiode von 2006 – 2020 (Ausnahme San Vittore 2007 – 2019), während die hellen Messwerte die Mittelwerte jener Stationen zeigen, die nur während einiger Zeit (siehe Tab. 2) in Betrieb waren.

### Sommer (April-September)



### Winter (Januar-März und Oktober-Dezember)

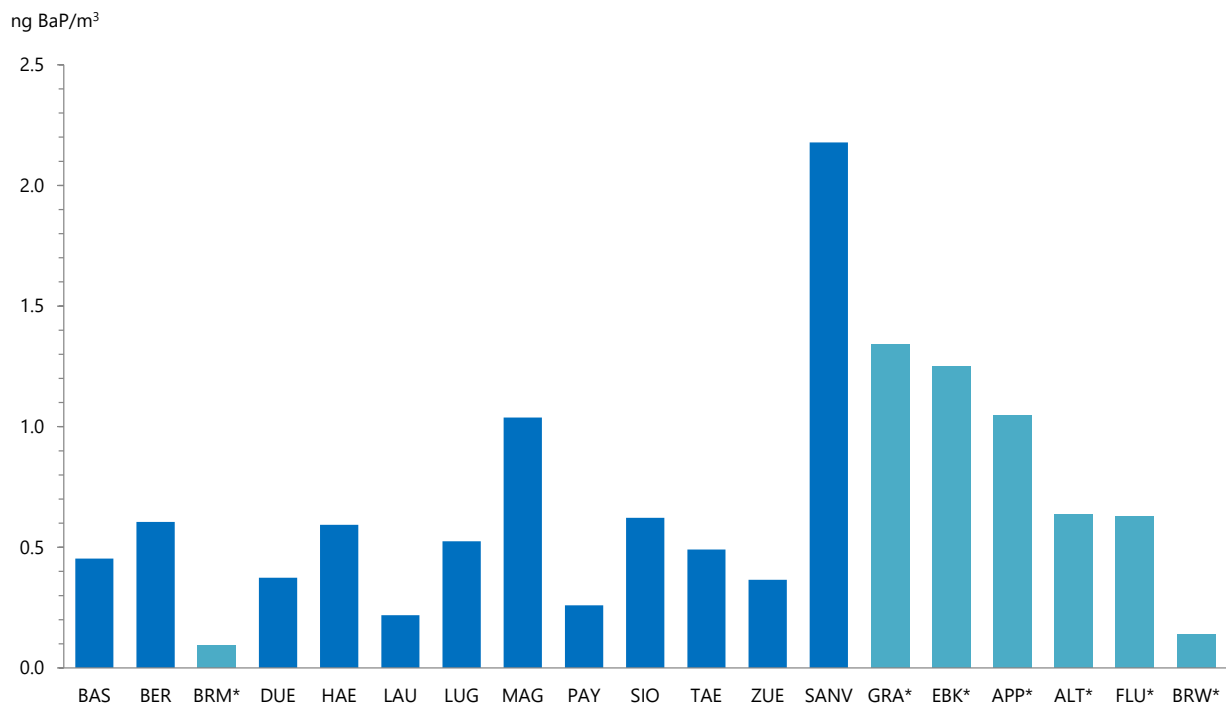


Abb. 14: Vergleich der mittleren Konzentrationen von Benzo(a)pyren im PM10 im Sommer und im Winter von 2006-2020 (\*soweit Messwerte vorhanden, siehe Tab. 2). Man beachte die unterschiedliche Skalierung der Sommer- und Wintergrafiken.

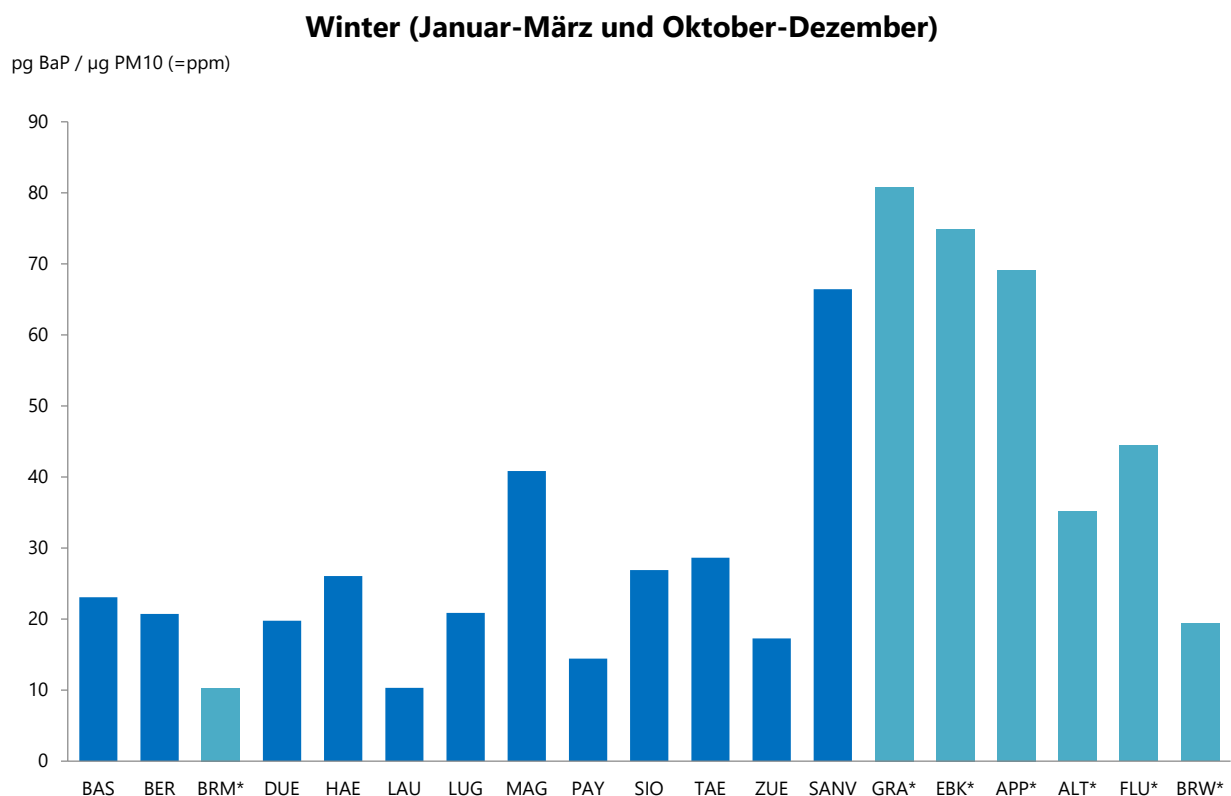
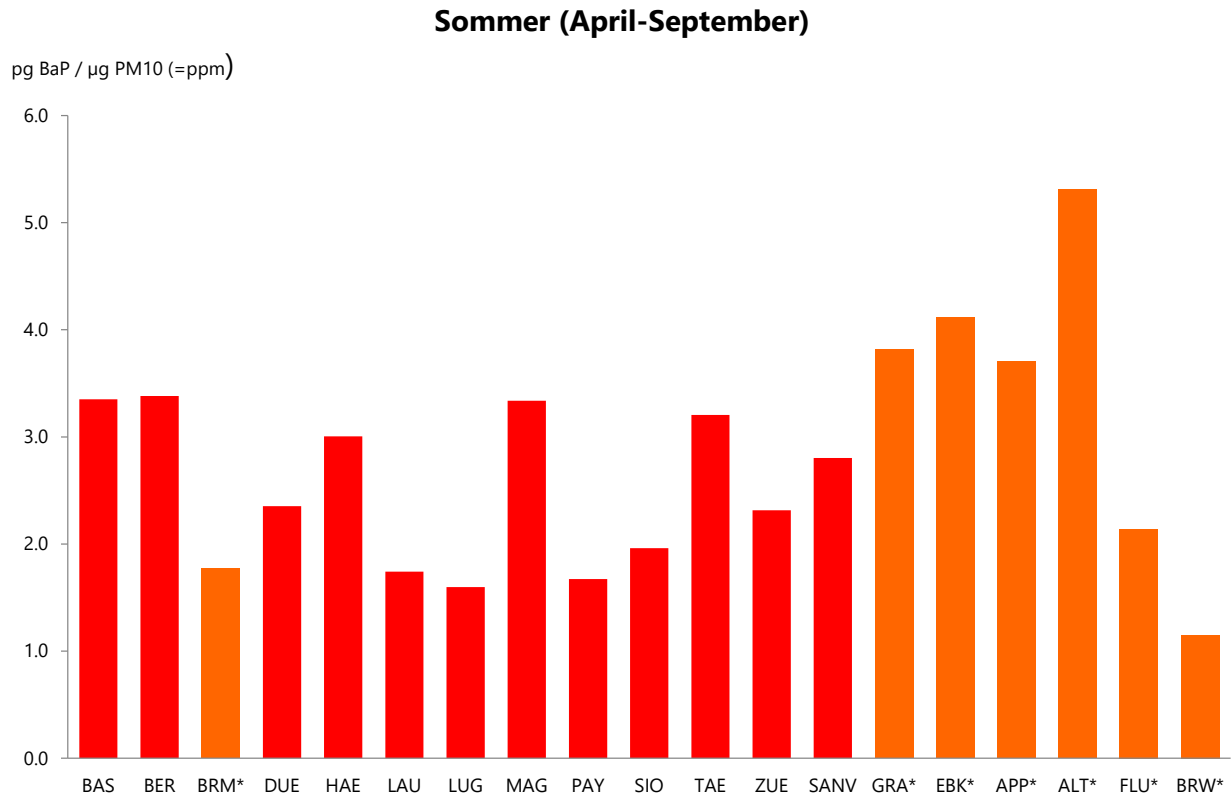


Abb. 15: Vergleich der Gehalte von Benzo(a)pyren im PM10 im Sommer und im Winter von 2006-2020 (\*soweit Messwerte vorhanden, siehe Tabelle 2). Man beachte die unterschiedliche Skalierung der Sommer- und Wintergrafiken.

## 6 Literaturverzeichnis

- BAG (2020). Polyzyklische aromatische Kohlenwasserstoffe (PAK). Factsheet Polyzyklische aromatische Kohlenwasserstoffe (PAK); Bundesamt für Gesundheit BAG; Oktober 2020; <https://www.bag.admin.ch/bag/de/home/gesund-leben/umwelt-und-gesundheit/chemikalien/chemikalien-a-z/polyzyklische-aromatische-kohlenwasserstoffe-pak.html>.
- CEN (2008). Air Quality - Standard method for the measurement of the concentration of benzo(a)pyrene in ambient air. EN 15549.
- Collins, J. F., Brown, J.P., Alexeef, G.V., and Salmon, A.G. (1998). Potency Equivalency Factors for Some Polycyclic Aromatic Hydrocarbons and Polycyclic Aromatic Hydrocarbon Derivatives. *Regulatory Toxicology and Pharmacology* 28, 45 - 54.
- EEA (2020). European Union emission inventory report 1990 - 2018 under the UNECE Convention on Long-range Transboundary Air Pollution (LRTAP), EEA Report No 05/2020, European Agency. ISSN 1977-8449. <https://www.eea.europa.eu/publications/european-union-emission-inventory-report-1990-2018>.
- EEA (2020b). Air Quality in Europe - 2020 Report, EEA Report No 09/2020, European Agency <https://www.eea.europa.eu/publications/air-quality-in-europe-2020-report>.
- Empa (2020). Technischer Bericht zum Nationalen Beobachtungsnetz für Luftfremdstoffe (NABEL) 2020; Dübendorf, Switzerland; <https://www.empa.ch/documents/56101/246436/Technischer+Bericht+2020/7d488cd6-7e74-400f-b490-0e54d798637a>.
- EPA (2010). Development Of A Relative Potency Factor (RPF) Approach For Polycyclic Aromatic Hydrocarbon (PAH) Mixtures (External Review Draft); [https://cfpub.epa.gov/ncea/iris\\_drafts/recordisplay.cfm?deid=194584](https://cfpub.epa.gov/ncea/iris_drafts/recordisplay.cfm?deid=194584).
- EPA (2018). Polycyclic aromatic hydrocarbon (PAH) mixtures (re)assessment has been suspended; [https://iris.epa.gov/ChemicalLanding/&substance\\_nmbr=1033#status](https://iris.epa.gov/ChemicalLanding/&substance_nmbr=1033#status).

- ETC/ACM (2015). Mapping ambient concentrations of benzo(a)pyrene in Europe - Population exposure and health effects for 2012. ETC/ACM Technical Paper 2014/6, November 2015. European Topic Center on Air Pollution and Climate Change Mitigation; [https://acm.eionet.europa.eu/reports/ETCACM\\_TP\\_2014\\_6\\_BaP\\_HIA](https://acm.eionet.europa.eu/reports/ETCACM_TP_2014_6_BaP_HIA).
- EU-Commission (2004). Directive 2004/107/EC of the European parliament and the council of 15 December 2004 relating to arsenic, cadmium, mercury, nickel and polycyclic aromatic hydrocarbons in ambient air. Official Journal of the European Communities L 23, 26 January 2005: 3-16. <https://eur-lex.europa.eu/legal-content/en/ALL/?uri=CELEX%3A32004L0107>.
- IARC (2013). Air pollution and cancer. IARC scientific publication no 161. <http://publications.iarc.fr/Book-And-Report-Series/Iarc-Scientific-Publications/Air-Pollution-And-Cancer-2013>.
- Krismer A. (2015). Benzo(a)Pyren und Hausbrand. Amt der Tiroler Landesregierung, Abt. Waldschutz. [https://www.tirol.gv.at/fileadmin/themen/umwelt/luftqualitaet/downloads/sonstige\\_Berichte/Benzo\\_a\\_pyren\\_und\\_Hausbrand.pdf](https://www.tirol.gv.at/fileadmin/themen/umwelt/luftqualitaet/downloads/sonstige_Berichte/Benzo_a_pyren_und_Hausbrand.pdf)
- Liu K., Duan F., He K., Ma Y. and Cheng Y. (2014). Investigation on sampling artifacts of particle associated PAHs using ozone denuder systems. *Front. Environ.Sci. Eng.* 8(2): 284-292.
- LUBW (2010). Bestimmung des Beitrags der Holzfeuerung zum PM10-Feinstaub an zwei Messstationen in Baden-Württemberg von Oktober 2008 bis Dezember 2009. LUBW Landesanstalt für Umwelt, Messungen und Naturschutz Baden-Württemberg. Bericht 64-01/2010.
- Nisbet, I. C. T. and LaGoy, P. K. (1992). Toxic Equivalency Factors (TEFs) for Polycyclic Aromatic-Hydrocarbons (PAHs). *Regulatory Toxicology and Pharmacology* 16(3): 290-300.
- Samburova, V., Zielinska, B. and Khlystov, A. (2017). Do 16 Polycyclic Aromatic Hydrocarbons Represent PAH Air Toxicity? *Toxics*, 5 (3); <https://doi.org/10.3390/toxics5030017>.
- Schauer, C., Niessner, R. and Poschl, U. (2003). Polycyclic aromatic hydrocarbons in urban air particulate matter: Decadal and seasonal trends, chemical degradation, and sampling artifacts. *Environ. Sci. Technol.* 37(13): 2861-2868.

Schläpfer, K. (1995). PAH-Immissionsmessungen in den Kantonen Zürich, Schaffhausen und Luzern (1994/1995); Im Auftrag des Amtes für Technische Anlagen (ATAL) Zürich, des Kant. Laboratoriums für Lebensmittelkontrolle und Umweltschutz Schaffhausen und des Amtes für Umweltschutz Luzern.

WHO Regional Office for Europe (2013). Review of evidence on health aspects of air pollution - REVIHAAP Project, Technical Report, Copenhagen;  
([https://www.euro.who.int/\\_\\_data/assets/pdf\\_file/0004/193108/REVIHAAP-Final-technical-report.pdf](https://www.euro.who.int/__data/assets/pdf_file/0004/193108/REVIHAAP-Final-technical-report.pdf)).

Zotter, P., Ciobanu, V.G., Zhang, Y.L., El-Haddad, I., Macchia, M., Daellenbach, K.R., Salazar, G.A., Huang, R.-J., Wacker, L., Hueglin, C., Piazzalunga, A., Fermo, P., Schwikowski, M., Baltensperger, U., Szidat, S., and Prévôt, A.S.H. (2014). Radiocarbon analysis of elemental and organic carbon in Switzerland during winter-smog episodes from 2008 to 2012 - Part 1: Source apportionment and spatial variability. *Atmos. Chem. Phys. Discuss.*, 14, 15591 - 15643. doi:10.5194/acpd-14-15591-2014.

## Anhang

Tab. A1: Quartalsmittelwerte der PM10-Konzentrationen ( $\mu\text{g}/\text{m}^3$ ) und PAK-Konzentrationen ( $\text{ng}/\text{m}^3$ ) des Jahres 2020 an NABEL-Stationen.

Messstelle	Quartal 2020	PM10 ( $\mu\text{g}/\text{m}^3$ )	Fluoranthen	Pyren	Benzo(a)anthracen	Chrysen	Benzo(b+)fluoranthren	Benzo(k)fluoranthren	Benzo(a)pyren	Indeno(1,2,3-cd)pyren	Dibenzo(ah)anthracen	Benzo(ghi)perylene
Basel	JFM	12.4	0.19	0.19	0.09	0.17	0.51	0.14	0.16	0.27	0.03	0.29
	AMJ	11.4	0.09	0.09	0.03	0.07	0.16	0.05	0.05	0.09	0.01	0.09
	JAS	10.9	0.04	0.04	0.01	0.02	0.05	0.01	0.01	0.03	0.00	0.03
	OND	12.5	0.19	0.21	0.13	0.19	0.62	0.19	0.26	0.37	0.04	0.39
Bern	JFM	19.6	0.43	0.42	0.29	0.45	1.03	0.31	0.42	0.50	0.06	0.59
	AMJ	14.3	0.28	0.16	0.03	0.07	0.15	0.04	0.04	0.08	0.01	0.11
	JAS	14.6	0.23	0.11	0.01	0.04	0.07	0.02	0.02	0.04	0.00	0.05
	OND	17.8	0.30	0.26	0.17	0.29	0.68	0.20	0.29	0.38	0.04	0.40
Beromünster	JFM	10.0	0.12	0.13	0.06	0.12	0.33	0.08	0.11	0.16	0.02	0.14
	AMJ	9.4	0.04	0.05	0.01	0.03	0.08	0.02	0.02	0.03	0.00	0.04
	JAS	9.2	0.02	0.03	0.00	0.01	0.02	0.00	0.00	0.01	0.00	0.01
	OND	7.6	0.10	0.11	0.04	0.07	0.20	0.06	0.07	0.12	0.01	0.13
Dübendorf	JFM	12.9	0.19	0.19	0.09	0.17	0.52	0.14	0.14	0.27	0.03	0.29
	AMJ	10.8	0.07	0.06	0.02	0.04	0.11	0.03	0.03	0.06	0.01	0.06
	JAS	11.4	0.04	0.04	0.01	0.02	0.05	0.01	0.01	0.02	0.00	0.03
	OND	13.1	0.20	0.21	0.14	0.20	0.60	0.18	0.28	0.35	0.04	0.36
Härkingen	JFM	14.3	0.22	0.22	0.13	0.28	0.64	0.19	0.21	0.33	0.03	0.39
	AMJ	11.6	0.09	0.07	0.02	0.06	0.13	0.04	0.04	0.06	0.01	0.08
	JAS	12.2	0.06	0.05	0.01	0.03	0.06	0.01	0.01	0.03	0.00	0.03
	OND	14.3	0.19	0.20	0.15	0.24	0.65	0.20	0.29	0.38	0.04	0.39
Lausanne	JFM	15.3	0.14	0.14	0.09	0.20	0.45	0.13	0.12	0.21	0.03	0.24
	AMJ	11.9	0.07	0.07	0.02	0.05	0.09	0.02	0.03	0.04	0.01	0.06
	JAS	11.8	0.06	0.06	0.01	0.03	0.05	0.01	0.01	0.02	0.00	0.04
	OND	14.5	0.11	0.11	0.07	0.12	0.31	0.08	0.11	0.17	0.02	0.19
Lugano	JFM	20.2	0.18	0.19	0.10	0.25	0.67	0.18	0.18	0.37	0.04	0.39
	AMJ	11.9	0.05	0.05	0.01	0.04	0.09	0.02	0.03	0.05	0.01	0.06
	JAS	12.2	0.03	0.04	0.00	0.01	0.03	0.01	0.01	0.01	0.00	0.02
	OND	17.0	0.14	0.15	0.15	0.29	0.69	0.20	0.32	0.39	0.05	0.40
Magadino	JFM	21.0	0.19	0.24	0.31	0.97	1.56	0.37	0.38	0.51	0.16	0.62
	AMJ	11.4	0.05	0.05	0.02	0.07	0.12	0.02	0.03	0.05	0.01	0.07
	JAS	11.6	0.03	0.03	0.01	0.04	0.08	0.01	0.02	0.03	0.01	0.05
	OND	16.9	0.20	0.25	0.50	1.32	2.22	0.46	0.89	0.75	0.33	0.93
Payerne	JFM	10.7	0.13	0.14	0.06	0.13	0.35	0.10	0.10	0.15	0.01	0.17
	AMJ	9.9	0.05	0.06	0.01	0.04	0.10	0.02	0.02	0.04	0.00	0.06
	JAS	9.5	0.03	0.03	0.00	0.01	0.03	0.01	0.01	0.02	0.00	0.02
	OND	9.7	0.11	0.12	0.07	0.11	0.35	0.10	0.15	0.21	0.02	0.23
Sion	JFM	18.6	0.20	0.22	0.18	0.36	0.86	0.26	0.23	0.32	0.04	0.43
	AMJ	12.2	0.05	0.06	0.02	0.04	0.09	0.02	0.02	0.03	0.00	0.04
	JAS	12.9	0.05	0.05	0.01	0.02	0.05	0.01	0.01	0.02	0.00	0.04
	OND	17.3	0.23	0.25	0.23	0.33	0.83	0.24	0.38	0.43	0.05	0.50
Tänikon	JFM	10.6	0.22	0.26	0.13	0.27	0.85	0.23	0.25	0.34	0.04	0.37
	AMJ	9.8	0.06	0.06	0.03	0.05	0.18	0.05	0.04	0.08	0.01	0.08
	JAS	10.0	0.03	0.04	0.01	0.02	0.04	0.01	0.01	0.02	0.00	0.02
	OND	9.8	0.20	0.22	0.13	0.22	0.66	0.18	0.25	0.37	0.04	0.38
Zürich	JFM	12.85	0.15	0.16	0.07	0.16	0.51	0.14	0.13	0.24	0.04	0.24
	AMJ	10.90	0.06	0.06	0.02	0.05	0.15	0.03	0.03	0.06	0.01	0.07
	JAS	11.69	0.04	0.04	0.01	0.02	0.05	0.01	0.01	0.03	0.00	0.03
	OND	13.71	0.17	0.17	0.11	0.18	0.57	0.16	0.23	0.34	0.04	0.36

Tab. A2: Quartalsmittelwerte der PM10-Konzentrationen ( $\mu\text{g}/\text{m}^3$ ) und PAK-Konzentrationen ( $\text{ng}/\text{m}^3$ ) des Jahres 2020 an den kantonalen Stationen.

Messstelle	Quartal 2020	PM10 ( $\mu\text{g}/\text{m}^3$ ) *	Fluoranthren	Pyren	Benz(a)anthracen	Chrysen	Benzo(b+j)fluoranthren	Benzo(k)fluoranthren	Benzo(a)pyren	Indeno(1,2,3,cd)pyren	Dibenzo(ah)anthracen	Benzo(ghi)perylen
San Vittore	JFM	25.4	0.53	0.59	0.67	0.92	2.42	0.71	1.48	1.47	0.20	1.48
	AMJ	13.4	0.05	0.06	0.02	0.04	0.14	0.03	0.05	0.08	0.01	0.08
	JAS	14.1	0.02	0.02	0.00	0.01	0.03	0.01	0.01	0.01	0.00	0.01
	OND	21.3	0.23	0.30	0.81	1.13	2.49	0.73	1.39	1.33	0.19	1.26
Ebnat-Kappel	JFM	12.8	0.89	1.06	0.64	0.85	1.93	0.62	1.13	1.19	0.12	1.24
	AMJ	10.2	0.07	0.10	0.02	0.04	0.12	0.03	0.05	0.07	0.01	0.08
	JAS	11.2	0.03	0.05	0.00	0.01	0.03	0.01	0.01	0.02	0.00	0.02
	OND	10.5	0.96	1.12	0.76	0.91	2.24	0.70	1.33	1.30	0.13	1.35

\*Bemerkung: Um einen korrekten Vergleich der PAK-Konzentrationen mit den PM10-Konzentrationen zu gewährleisten, bzw. um die korrekten PAK Gehalte zu bestimmen, wurden für die Berechnungen der PM10-Quartalswerte nur die Tageswerte jener Tage verwendet die in die Bestimmung der PAK-Konzentrationen einfließen.